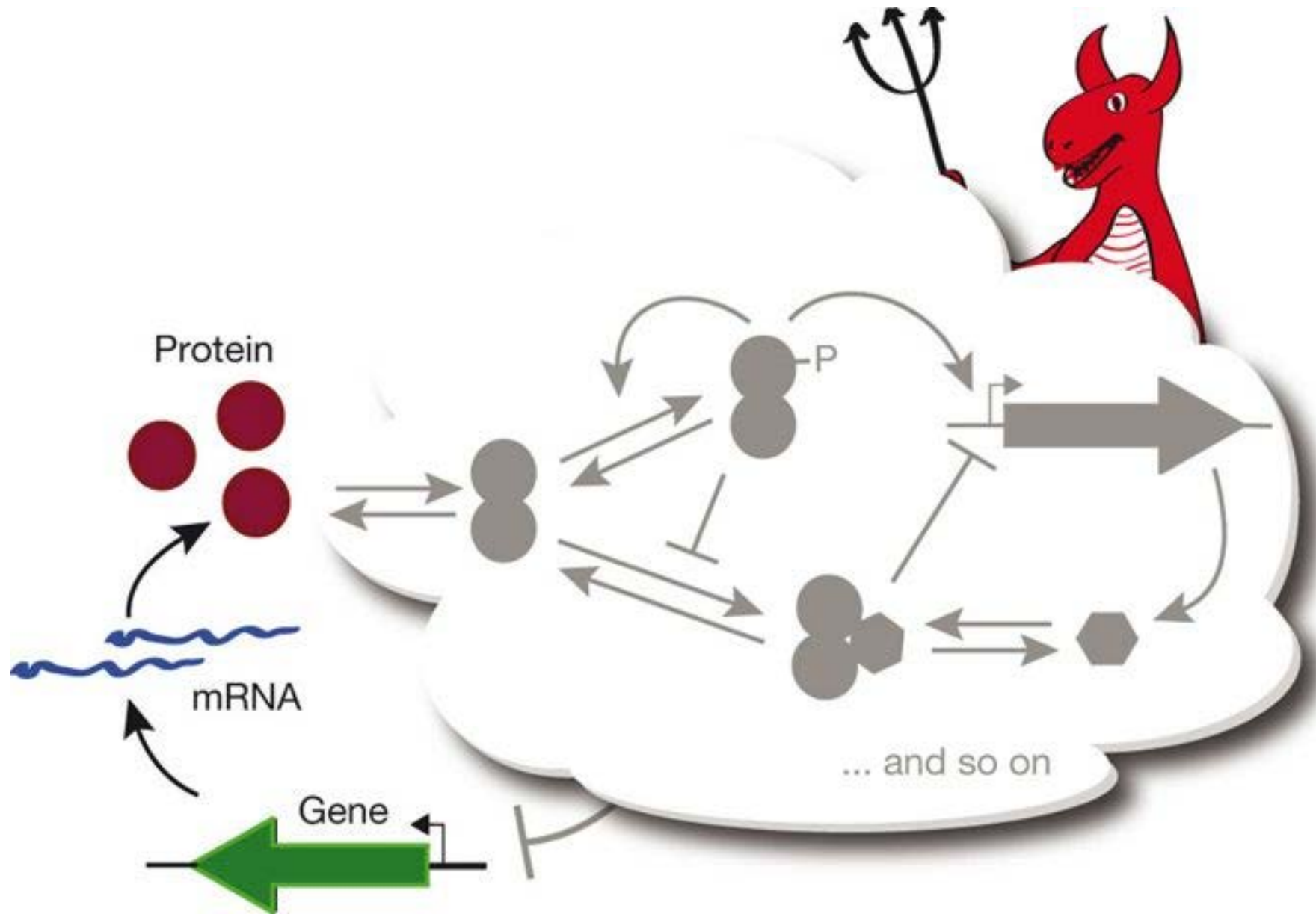


Zeitablauf biologischer Reaktionen

Stand: 20.11.2020



Dynamik molekularer, zellulärer Prozesse

Populationsdynamik

Kinetik

Reaktionsmechanismus ?

- Enzymforschung
- Nervenerregung
- Photosynthese

mathematischer Formalismus zur
Beschreibung zeitabhängiger Phänomene

- Populationsdynamik
- Stoffwechselkinetik (MFA metabolische Flußanalyse)
- Pharmakokinetik

1. Definition Reaktionsgeschwindigkeit

Definitionsziele:

- pos. Reaktionsgeschwindigkeit;
- eine Kennziffer die unabhängig vom betrachteten Stoff ist.



$$r = \frac{1}{v_A} \frac{dC_A}{dt} = \frac{1}{v_B} \frac{dC_B}{dt} = \frac{1}{v_C} \frac{dC_C}{dt} = \frac{d\xi}{dt}$$

$$r = -\frac{dC_A}{dt} = -\frac{1}{3} \frac{dC_B}{dt} = \frac{1}{4} \frac{dC_C}{dt} = \frac{d\xi}{dt}$$

2. Molekularität und Reaktionsordnung

Elementarreaktion <---> zusammengesetzte, komplexe oder simultane R.

(Reaktionsablauf kann einfachere Reaktionsmodelle vortäuschen !!!!)

Reaktionsordnung

Die Abhangigkeit der Reaktionsgeschwindigkeit vom Exponenten, mit dem die Konzentration eines bestimmten Reaktanten in das Geschwindigkeitsgesetz eingeht, wird als Reaktionsordnung in Bezug auf diesen Reaktanten bezeichnet.

Zeitallauf durch
Integration

$$\frac{d A}{d t} = k_i \cdot A^n$$

Geschwindigkeits-
konstante

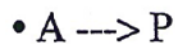
Reaktionsordnung

n = 0 (nullte Ordnung)

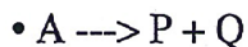
n = 1 (erste Ordnung)

.....

2.1 Monomolekulare Reaktion:

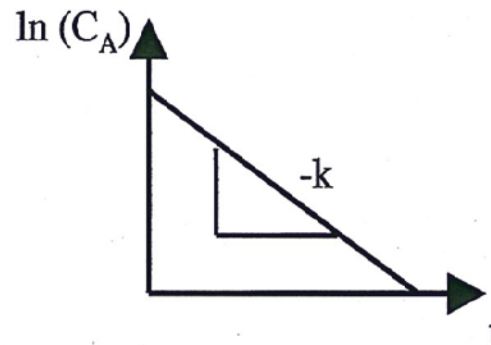


$$r = -\frac{dC_A}{dt} = k C_A \quad -k \int_0^t dt = \int_{C_A^0}^{C_A} \frac{dC_A}{C_A}$$



Integration

$$\ln(C_A) = \ln(C_A^0) - kt$$



Beispiele:

- Mikrobielles Wachstum in der exponentiellen Phase
- Radioaktiver Zerfall
- Thermische Zersetzungreaktionen
- Inversion von Rohrzucker

2.2

Bimolekulare Reaktion:

Fall a)



$$r = -\frac{dC_A}{dt} = k C_A C_B$$



C_A und C_B entwickeln sich nicht unabhängig, also: $C_A = C_A^0 - \xi$ $C_B = C_B^0 - \xi$

$$dC_A = dC_A = -d\xi$$

$$r = -\frac{d\xi}{dt} = k(C_A^0 - \xi)(C_B^0 - \xi) \quad - \int_0^t k dt = \int_{\xi_0}^{\xi} \frac{d\xi}{(C_A^0 - \xi)(C_B^0 - \xi)}$$

so nicht lösbar, also Partialbruchzerlegung

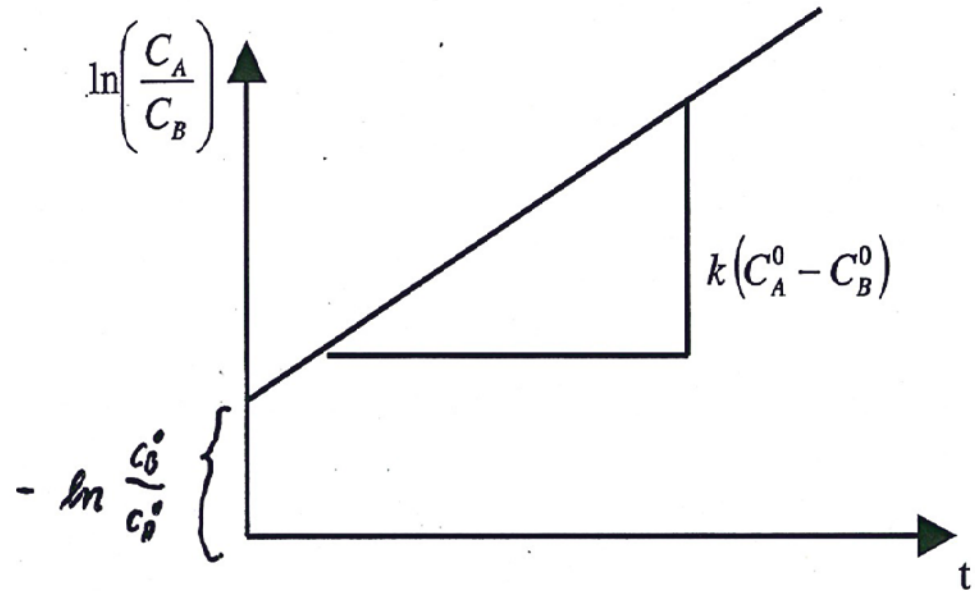
$$\frac{1}{(C_A^0 - \xi)(C_B^0 - \xi)} = \frac{1}{(C_A^0 - C_B^0)} \left(\frac{1}{(C_B^0 - \xi)} - \frac{1}{(C_A^0 - \xi)} \right)$$

integrierbar zu:

$$-kt = \frac{1}{(C_A^0 - C_B^0)} \left(\ln \left(\frac{C_B^0 - \xi}{C_B^0} \right) - \ln \left(\frac{C_A^0 - \xi}{C_A^0} \right) \right)$$

Rücksubstitution: $C_A = C_A^0 - \xi$ $C_B = C_B^0 - \xi$

$$t = \frac{1}{k(C_A^0 - C_B^0)} \left(\ln\left(\frac{C_A}{C_B}\right) + \ln\left(\frac{C_B^0}{C_A^0}\right) \right)$$

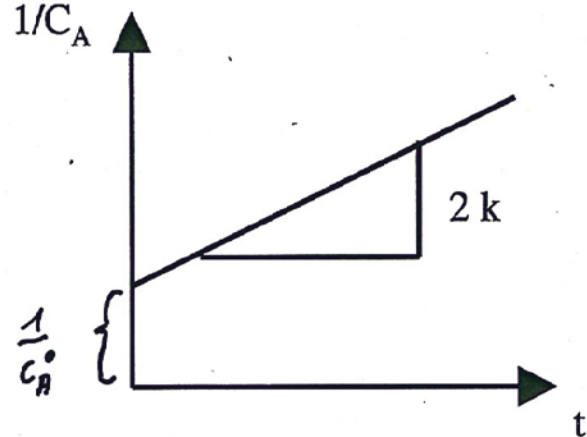


Fall b) $2A \rightarrow A_2$

$$r = -\frac{1}{2} \frac{dC_A}{dt} = k C_A^2$$

$$-\int_0^t 2k dt = \int_{C_A^0}^{C_A} \frac{dC_A}{C_A^2} \quad -2kt = \left(\frac{1}{C_A^0} - \frac{1}{C_A} \right)$$

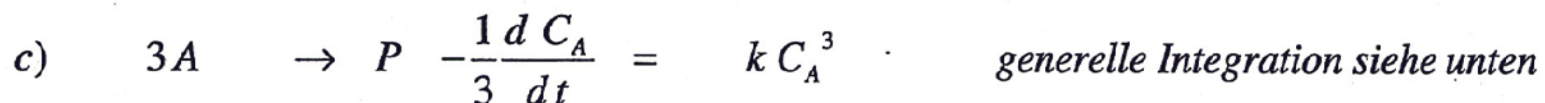
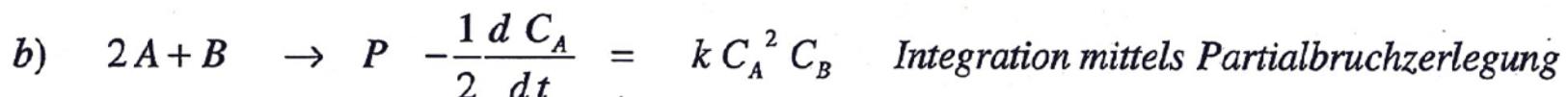
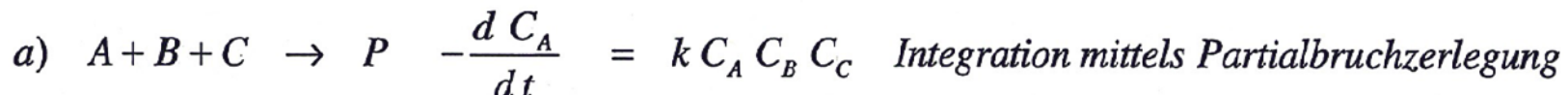
$$2 k t = \left(\frac{1}{C_A} - \frac{1}{C_A^0} \right) \quad C_A = \frac{C_A^0}{C_A^0 2 k t + 1}$$



Beispiele:

- Jodwasserstoffreaktion $H_2 + I_2 \rightarrow 2 HI$ bimolekulare Gasphasenreaktion
- einige Veresterungs- und Verseifungsreaktionen $CH_3COOC_2H_5 + Na^+ + OH^- \rightarrow CH_3COO^- Na^+ + C_2H_5OH$
- Antigen-Antikörper-Reaktionen (außerordentliche Spezifität + große Geschwindigkeitskonstanten)
- Radikal-Radikal-Reaktionen z.B. $H\cdot + OH\cdot \rightarrow H_2O$, $H\cdot + H\cdot \rightarrow H_2$
- DNA Reassoziationen

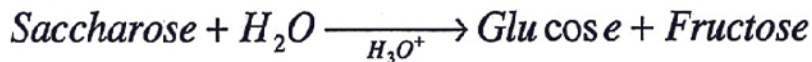
2.3 trimolekulare Reaktionen oder Reaktionen höherer Ordnung:



$$r = -\frac{1}{n} \frac{d C_A}{dt} = k C_A^n \quad \int_0^t -nk dt = \int_{C_A^0}^{C_A} \frac{d C_A}{C_A^n}$$

$$k = \frac{1}{t(n-1)} \left[\frac{1}{C_A^{(n-1)}} - \frac{1}{C_A^{0(n-1)}} \right]$$

Pseudoordnung:



A

B

C

D

$$r = -\frac{dC_A}{dt} = k C_A C_B$$

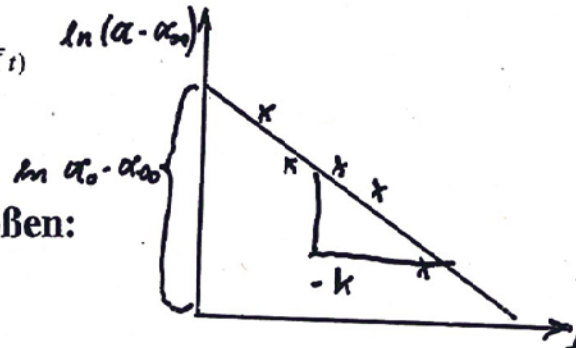
Überschub H₂O

$$r = -\frac{dC_A}{dt} = \bar{K} C_A$$

mit $\bar{K} = k C_B$

deshalb simples Zeitgesetz

$$C_A = C_A^0 e^{(-\bar{K} t)}$$



Einsatz konzentrationsproportionaler Größen:

- Drehwinkel
- Partialdruck
- Absorption

Beispiel Drehwinkel:

$$\begin{aligned} C_A^0 &\cong \alpha_0 - \alpha_\infty \\ C_A &\cong \alpha(t) - \alpha_\infty \end{aligned}$$

$$\bar{k} = k C_B = \frac{1}{t} \ln \frac{C_A^0}{C_A}$$

$$\bar{K} = k C_B = \frac{1}{t} \ln \left(\frac{\alpha_0 - \alpha_\infty}{\alpha(t) - \alpha_\infty} \right)$$

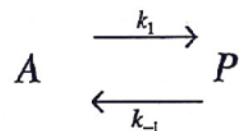
3.

zusammengesetzte, komplexe oder simultane Reaktionen:

3.1

reversible Reaktionen:

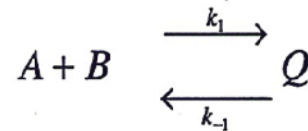
Monomolekulare Hin- und Rückreaktion



$$\frac{dC_A}{dt} = -k_1 C_A + k_{-1} C_P$$

im Gleichgewicht:

Bimolekulare Hin- und monomolekulare Rückreaktion



$$\frac{dC_A}{dt} = -k_1 C_A C_B + k_{-1} C_Q$$

$$\frac{dC_A}{dt} = 0$$

$$\frac{k_1}{k_{-1}} = \frac{C_P}{C_A} = K$$

$$\frac{k_1}{k_{-1}} = \frac{C_Q}{C_A C_B} = K$$

Verknüpfung kinetische und thermodynamische Definition des Gleichgewichtes

$$K = e^{\frac{\Delta_R G^\circ}{RT}}$$

Integration einer reversible Reaktion:

$$\frac{dC_A}{dt} = -k_1 C_A + k_{-1} C_P \quad C_A = C_A^0 - \xi \quad C_P = C_P^0 + \xi \quad dC_A = -d\xi$$

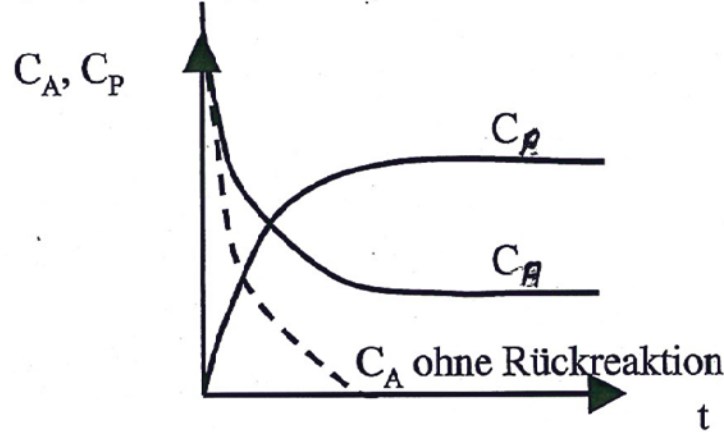
$$-\frac{d\xi}{dt} = -k_1 (C_A^0 - \xi) + k_{-1} (C_P^0 + \xi) = \xi (k_1 + k_{-1}) - k_1 C_A^0 + k_{-1} C_P^0 = \xi a + b = Z$$

$$-\frac{d\xi}{dt} = a\xi + b \quad \frac{dZ}{d\xi} = a \quad -\frac{1}{a} \frac{dZ}{dt} = Z \quad \int_{Z_0}^Z \frac{dZ}{Z} = \int_0^t -a dt \quad \begin{matrix} a = k_1 + k_{-1} \\ b = k_{-1} C_P^0 - k_1 C_A^0 \end{matrix}$$

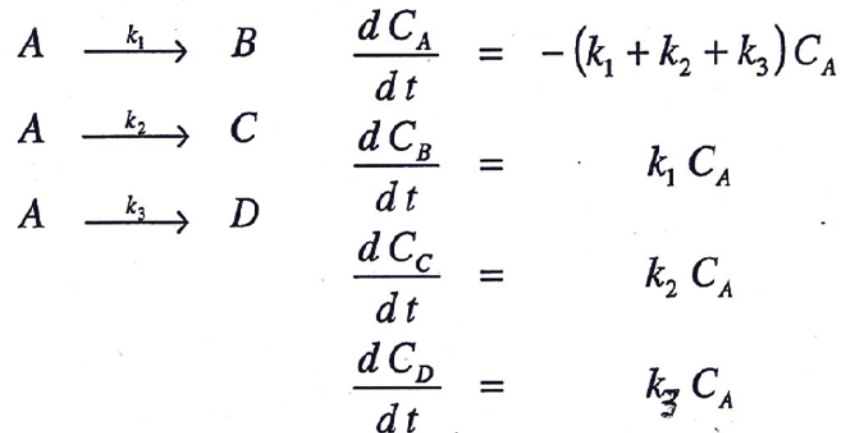
$$\ln\left(\frac{a\xi + b}{b}\right) = -at \quad \xi = \frac{b}{a} (e^{-at} - 1)$$

$$\xi(t \rightarrow \infty) = -\frac{b}{a} = C_A^0 - C_A^{eq} \quad (C_A^0 - C_A) = (C_A^{eq} - C_A^0)(e^{-at} - 1)$$

$$\boxed{\ln\left(\frac{(C_A^0 - C_A^{eq})}{(C_A - C_A^{eq})}\right) = (k_1 + k_{-1})t}$$



3.2

Nebenreaktionen:

Wegscheiderprinzip:

Verhältnis

Reaktionsgeschwindigkeiten

Konzentrationen

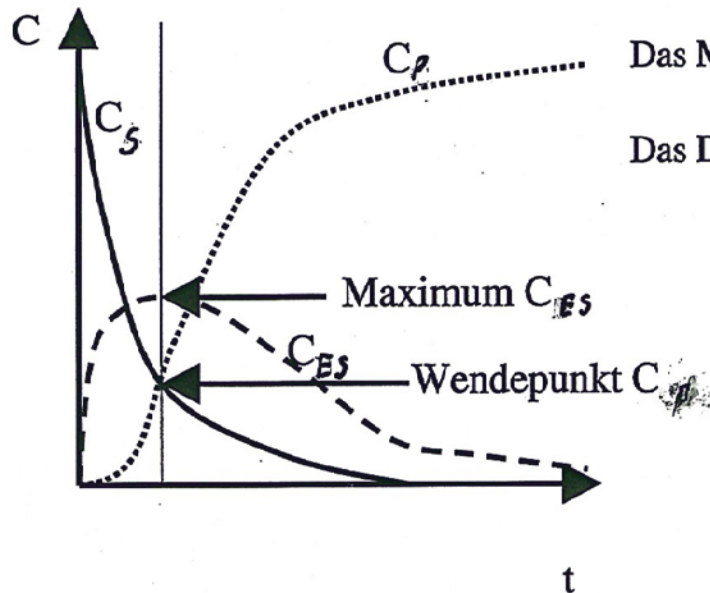
$$\begin{aligned}\frac{dC_B}{dC_C} &= \frac{k_1}{k_2} \\ \frac{dC_B}{dC_D} &= \frac{k_1}{k_3}\end{aligned}$$

$$\begin{aligned}\frac{C_B}{C_C} &= \frac{k_1}{k_2} \\ \frac{C_B}{C_D} &= \frac{k_1}{k_3}\end{aligned}$$

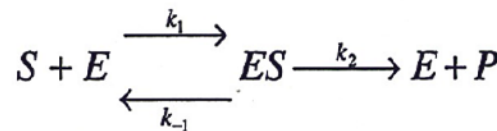
3.2

Folgereaktionen:

(Am Beispiel enzymatisch katalysierter Reaktionen)



Das Modell:



$$\text{Das DGL-System: } \frac{dC_S}{dt} = -k_1 C_S C_E + k_{-1} C_{ES}$$

$$\frac{dC_E}{dt} = -k_1 C_S C_E + (k_{-1} + k_2) C_{ES}$$

$$\frac{dC_{ES}}{dt} = k_1 C_S C_E - (k_{-1} + k_2) C_{ES}$$

$$\frac{dC_P}{dt} = k_2 C_{ES}$$

$$\text{Die Stoffbilanz: } C_S^0 = C_S + C_{ES} + C_P$$

$$C_E^0 = C_E + C_{ES}$$

Die Näherung: (Bodensteinsche Stationaritätsbedingung) $\frac{dC_{ES}}{dt} = 0 \quad C_{ES} = \text{const.}$



Max Bodenstein

Die Lösung:

aus: $\frac{dC_{ES}}{dt} = 0 = k_1 C_S C_E - (k_{-1} + k_2) C_{ES}$ folgt: $\frac{C_E C_S}{C_{ES}} = \frac{k_{-1} + k_2}{k_1} = K_M$

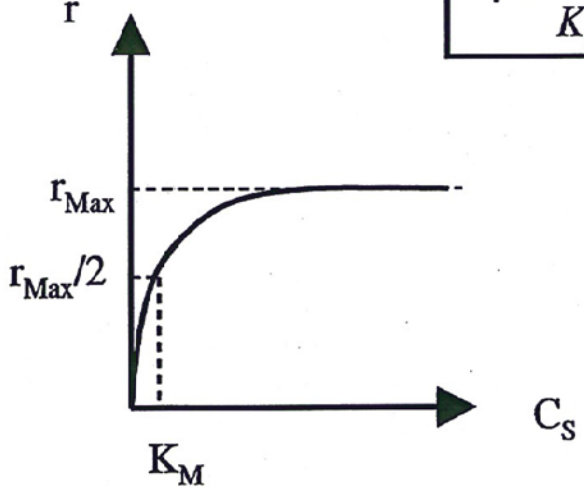
aus Enzymbilanz $C_E^0 = C_E + C_{ES}$ folgt: $C_{ES} = \frac{C_E^0 C_S}{K_M + C_S}$

aus: $\frac{dC_P}{dt} = k_2 C_{ES}$ folgt: $r = \frac{dC_P}{dt} = \frac{k_2 C_E^0 C_S}{K_M + C_S}$

Michaelis-Gleichung:

$$r = \frac{r_{\max} C_S}{K_M + C_S} \quad \text{mit} \quad r_{\max} = k_2 C_E^0$$

Analoge Beschreibung für Wachstum (Monod)



wenn $C_S \gg K_M$: $r = r_{\max}$

wenn $C_S \ll K_M$: $r = \frac{r_{\max}}{K_M} C_S$

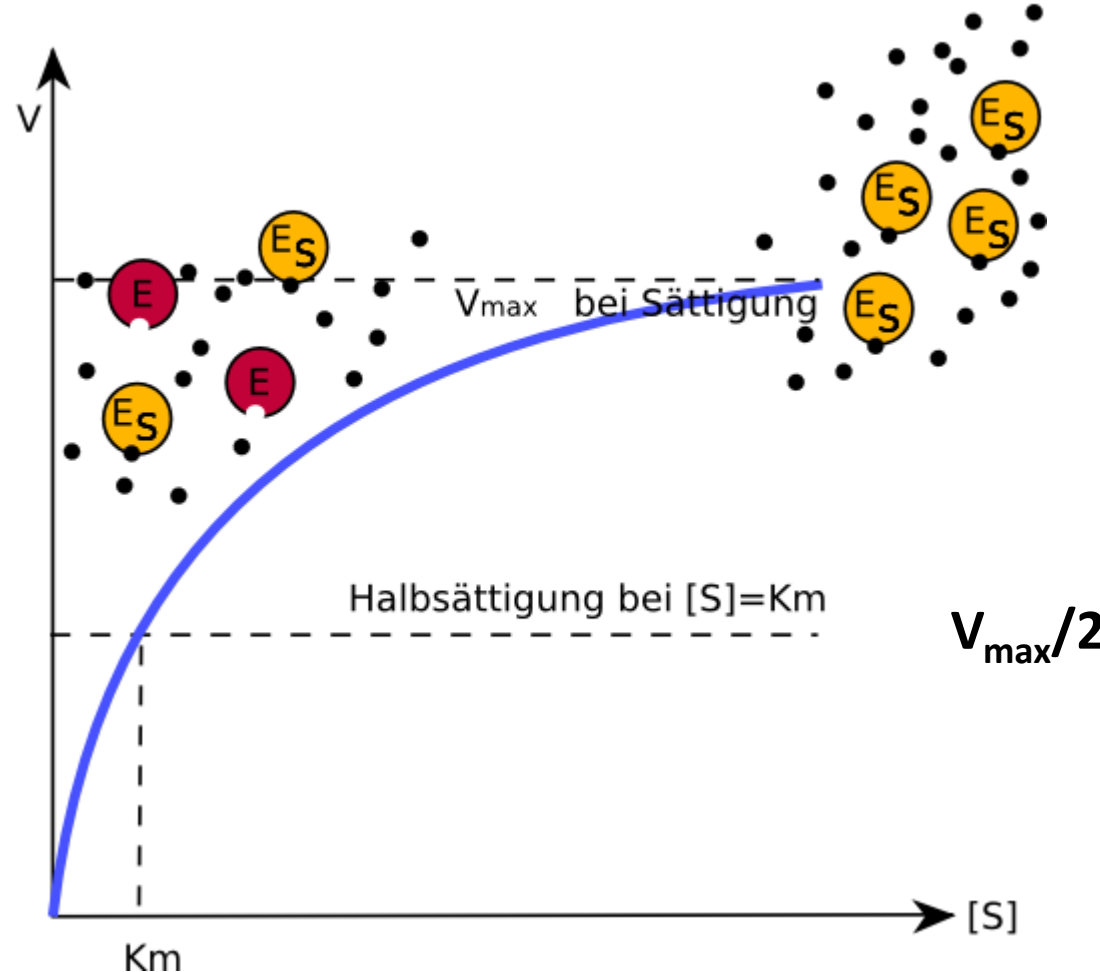
Wichtige Kenngrößen

$$r_{max} = k_{cat} \cdot E_0$$

k_{cat} = Wechselzahl, turnover number [s^{-1}]

k_M = Halbsättigungskonstant [mol L⁻¹]

Michaelis-Menten-Kinetik



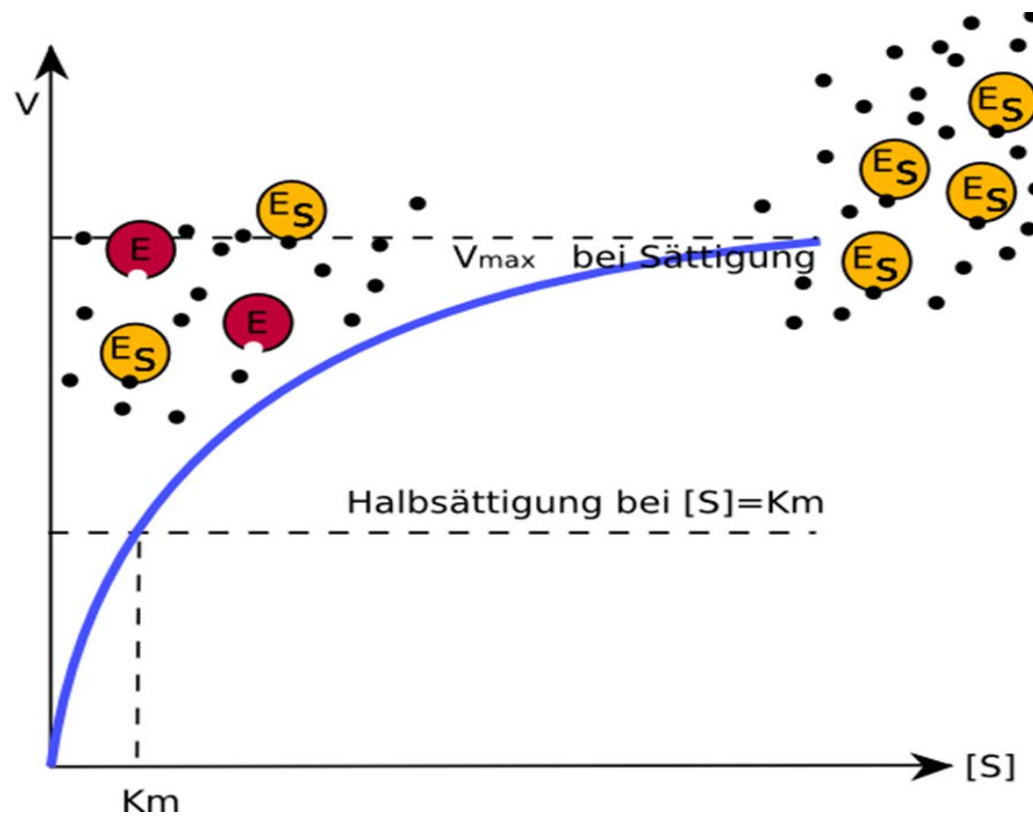
Leonor Michaelis/ Maud Menten

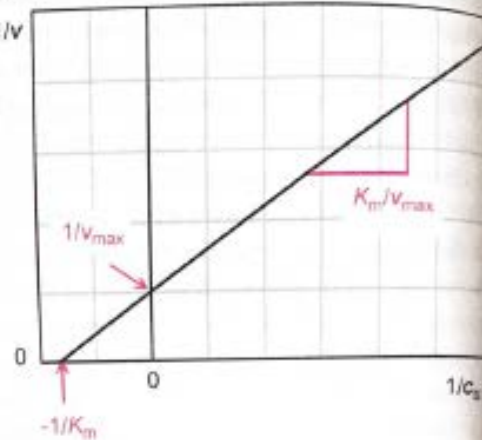


- 1880 – Theorie einer Komplexes als Zwischenprodukt (Adolphe Wurtz)
- 1902 – Ableitung der Gleichung (Victor Henri)
- 1913 – verbesserte experimentelle und Auswertemethoden für Enzyme

Wie bestimme ich die Parameter ?

$$v = v_{max} \cdot \frac{C_S}{K_M + C_S}$$



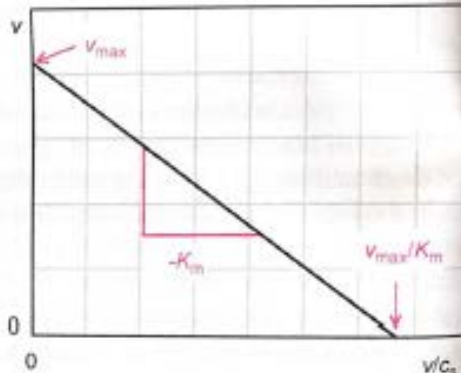
a

Weitere Linearisierungen

Lineweaver-Burk

$$\frac{1}{v} = \frac{K_M}{v_{max}} \cdot \frac{1}{C_S} + \frac{1}{v_{max}}$$

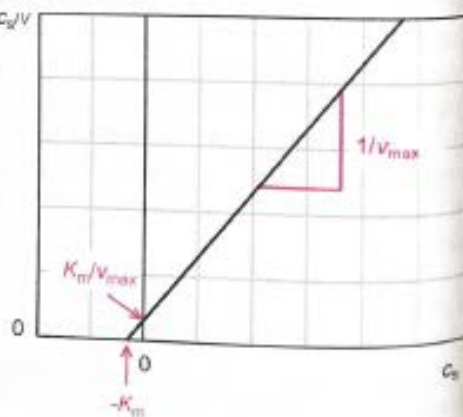
An der Tafel
Vorrechnen !!!

b

Eadie-Hofstee

$$v = -K_M \cdot \frac{v}{C_S} + v_{max}$$

Was können die
Probleme der
Linearisierung sein ?

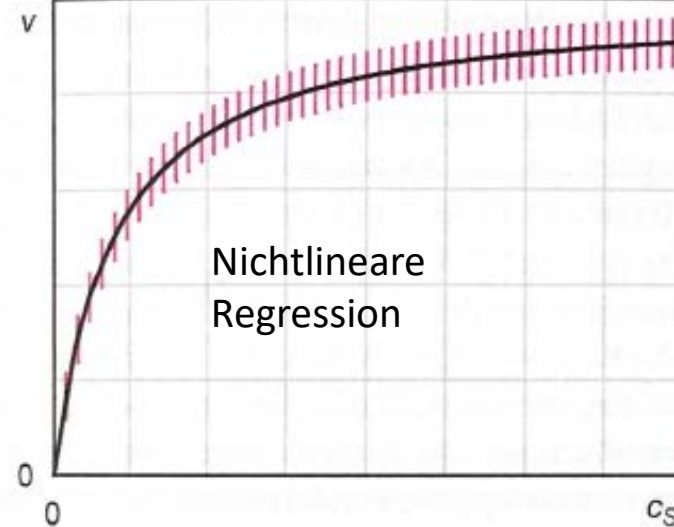
c

Hanes-Woolf

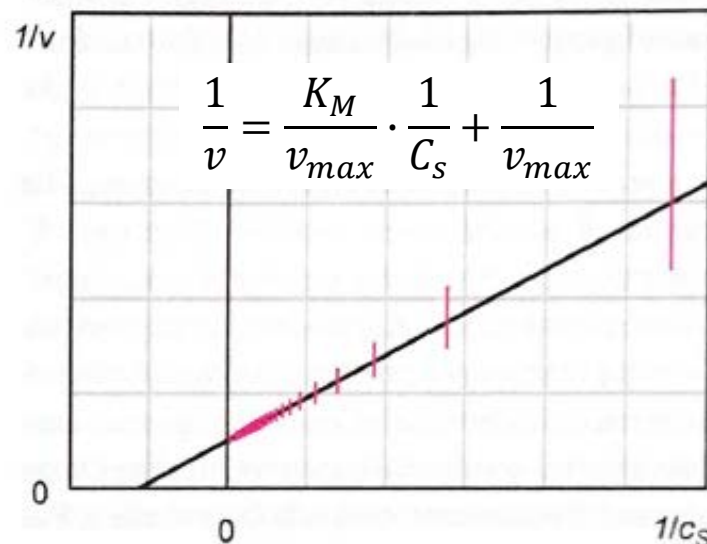
$$\frac{C_S}{v} = \frac{1}{v_{max}} \cdot C_S + \frac{K_M}{v_{max}}$$

Fehlergrenzen in den verschiedenen Parameteranpassungen

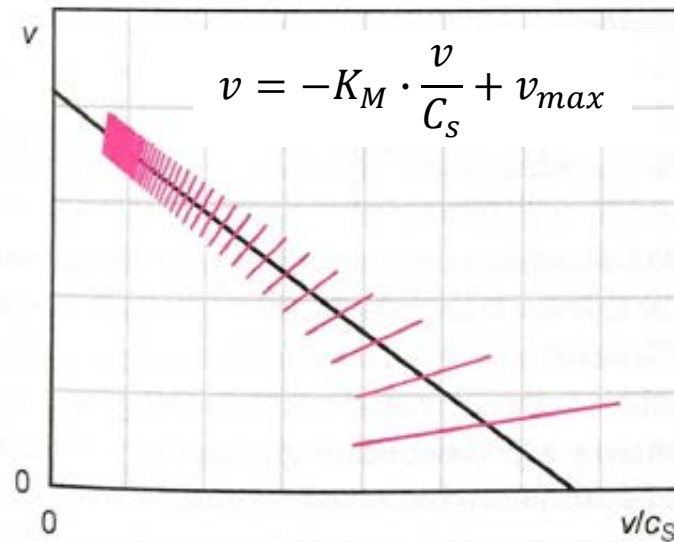
a



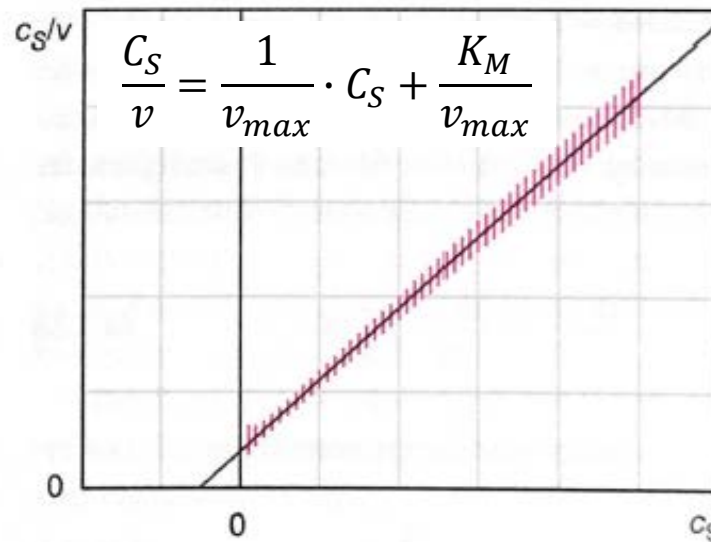
b



c



d



Katalytische Wirksamkeit eines Enzyms:

Enzymaktivität A_E : $A_E = r_{max} * V$ Dimension unit

1 unit = 1 $\mu\text{mol}/\text{min}$

spezifische Enzymaktivität a_E : $a_E = A_E / m_E$

1 unit/mg

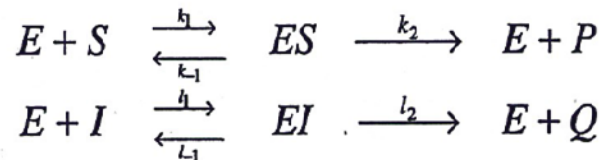
Enzyme Commision: Katal (kat oder kat/kg)

1 kat = 1 mol/s

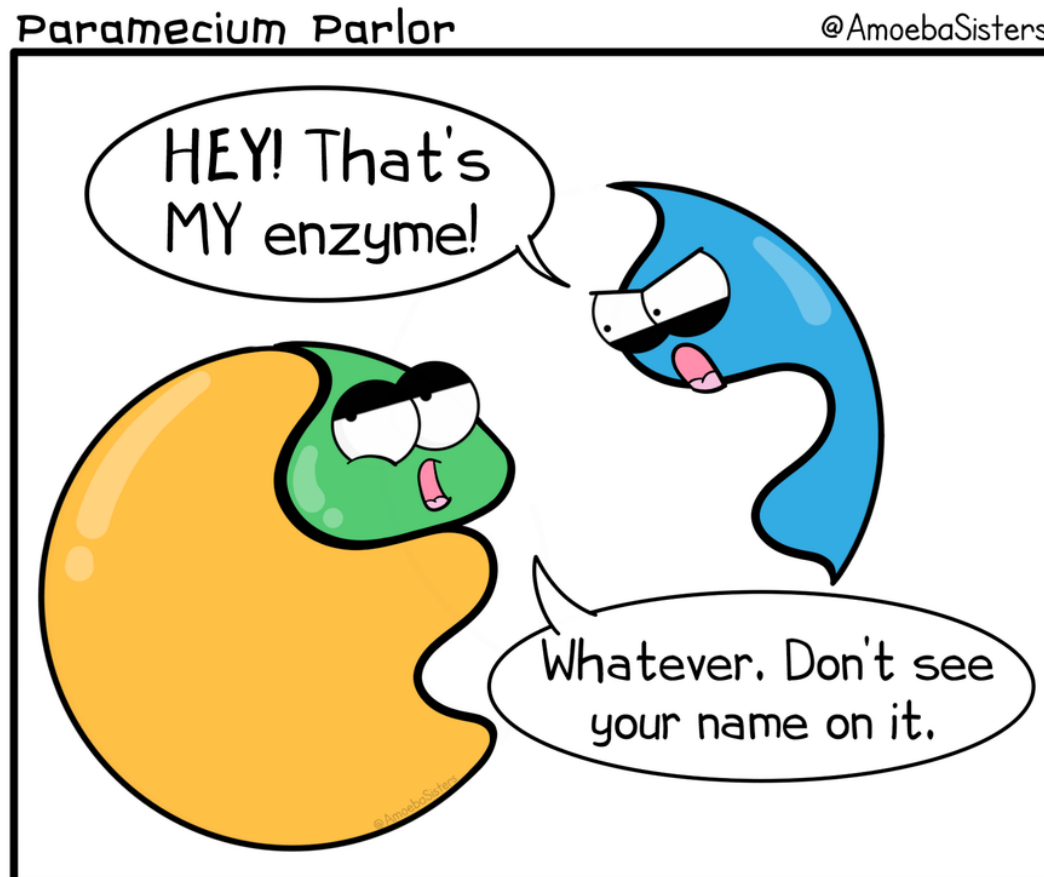
Kompetitive Hemmung: A) Konkurrenz von S und I um eine Bindungsstelle

B) getrennte Bindungsstellen von S und I aber Konformationsänderung

(allosterische Hemmung)

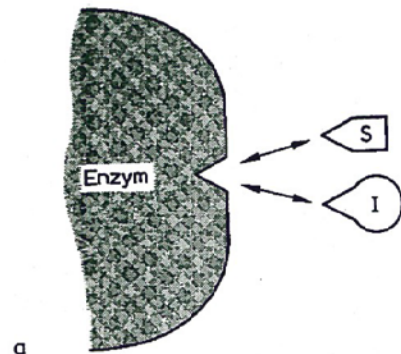


Kompetetive Hemmung

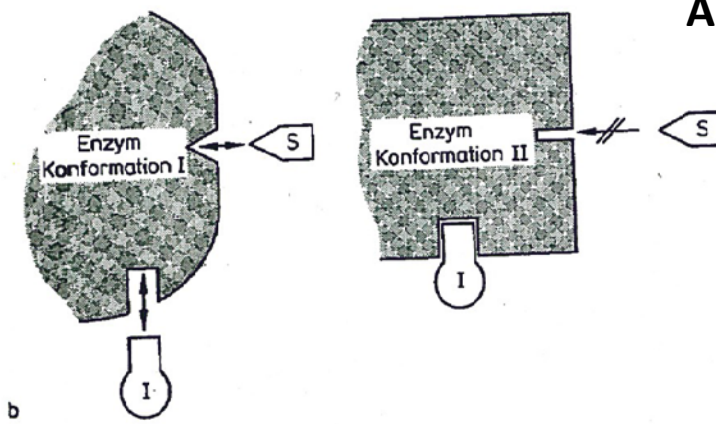


Competitive Inhibitors: If it fits, it sits.

Kompetitive Hemmungen von Enzymreaktionen



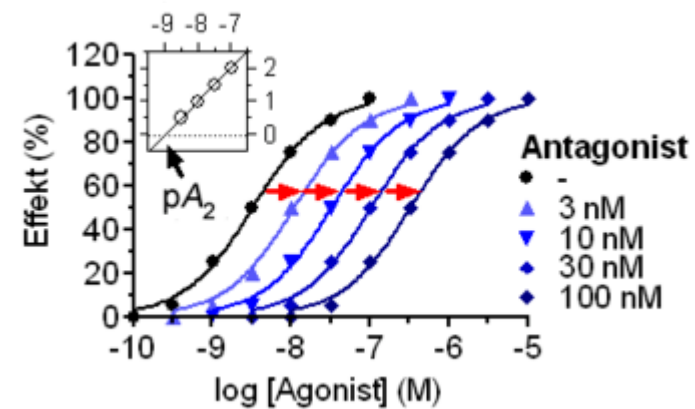
Konkurrenz um einen Bindungsplatz



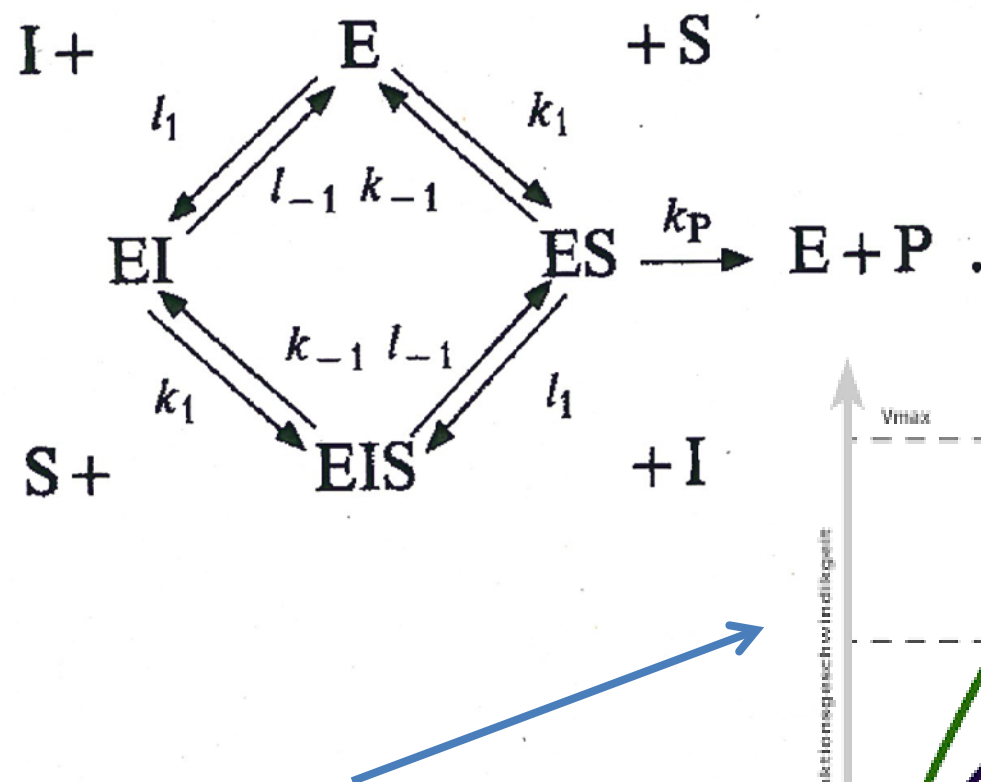
Allosterische Hemmung

Kinetik für kompetitive Hemmung:

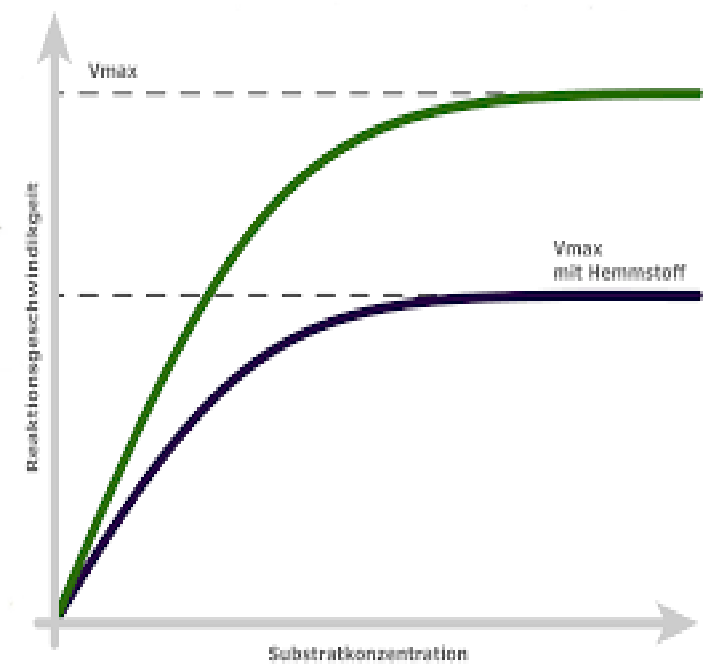
$$r = \frac{k_2 C_E^0 C_S}{C_S + K_M (1 + C_I / K_I)} = \frac{r_{\max} C_S}{C_S + K_M + k_I C_I}$$



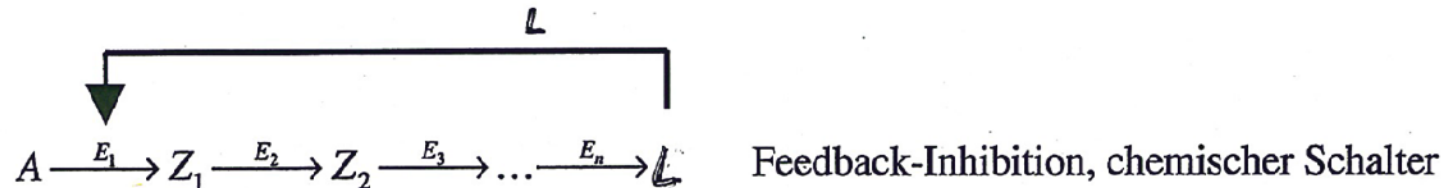
Nicht-kompetitive Hemmung:



Unterschiedlicher Zeitablauf



Regulation biologischer Aktivität:



Feedback-Inhibition, chemischer Schalter

Modelle für chemischer Schalter:

1.) Das sequenzielle Modell (Beispiel 2 Untereinheiten)



nur T-katalytisch aktiv

m Liganden binden an n Bindungsstellen eines Proteins

Konformation T = offener Kreis, freie Bindungsstelle,

R = Quadrat, besetzte Bindungstelle

2. Bindung durch Konformationsänderung begünstigt oder erschwert

Gleichgewichte

$$K_1 = \frac{C^{L0}}{C^{00} C_L} = \frac{C^{0L}}{C^{00} C_L} \quad K_2 = \frac{C^{LL}}{C^{0L} C_L} = \frac{C^{UL}}{C^{L0} C_L}$$

Bindungsgrad

$$m = \frac{C^{0L} + C^{L0} + 2 C^{UL}}{C^{00} + C^{0L} + C^{L0} + 2 C^{LL}}$$

$$m = \frac{2 \cdot K_1 \cdot C^{00} \cdot C_L + 2 \cdot K_2 \cdot C^{0L} \cdot C_L}{C^{00} + 2 \cdot K_1 \cdot C^{00} \cdot C_L + 2 \cdot K_2 \cdot C^{0L} \cdot C_L}$$

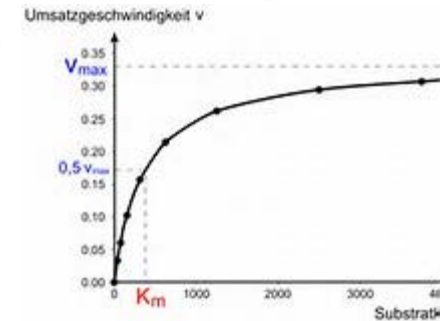
$$m = \frac{2 \cdot K_1 \cdot C^{00} \cdot C_L + 2 \cdot K_2 \cdot K_1 \cdot C^{00} \cdot C_L^2}{C^{00} + 2 \cdot K_1 \cdot C^{00} \cdot C_L + 2 \cdot K_2 \cdot C^{0L} \cdot C_L}$$

$$m = \frac{2 \cdot K_1 \cdot C_L + 2 \cdot K_2 \cdot K_1 \cdot C_L^2}{1 + 2 \cdot K_1 \cdot C_L + 2 \cdot K_2 \cdot K_1 \cdot C_L^2}$$

a) Vernachlässigung der Wechselwirkung der Ligandenbindung: $K_1 = K_2 = K$

$$m = \frac{2K C_L}{1 + KC_L}$$

$$m = \frac{2 \cdot K_1 \cdot C_L + 2 \cdot K_2 \cdot K_1 \cdot C_L^2}{1 + 2 \cdot K_1 \cdot C_L + 2 \cdot K_2 \cdot K_1 \cdot C_L^2}$$



daraus folgt hyperbolischer Verlauf

b) Starke Wechselwirkungen der Ligandenbindung: $C^{LL} \gg C^{0L}$ $C^{LL} \gg C^{L0}$

$$m = \frac{2K^* C_L^2}{1 + K^* C_L^2} \text{ mit } K^* = K_1 K_2$$

mit n Bindungsstellen

$$m = \frac{n K^* C_L^n}{1 + K^* C_L^n}$$

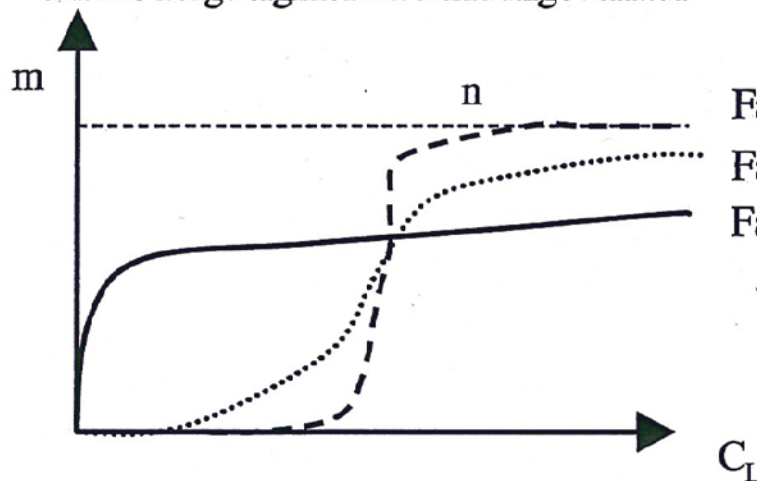
daraus folgt sigmoider Bindungsverlauf

$$m = \frac{2 \cdot K_1 \cdot C_L + 2 \cdot K_2 \cdot K_1 \cdot C_L^2}{1 + 2 \cdot K_1 \cdot C_L + 2 \cdot K_2 \cdot K_1 \cdot C_L^2}$$

Fall b) für n=6

Fall b) für n=2

Fall a)

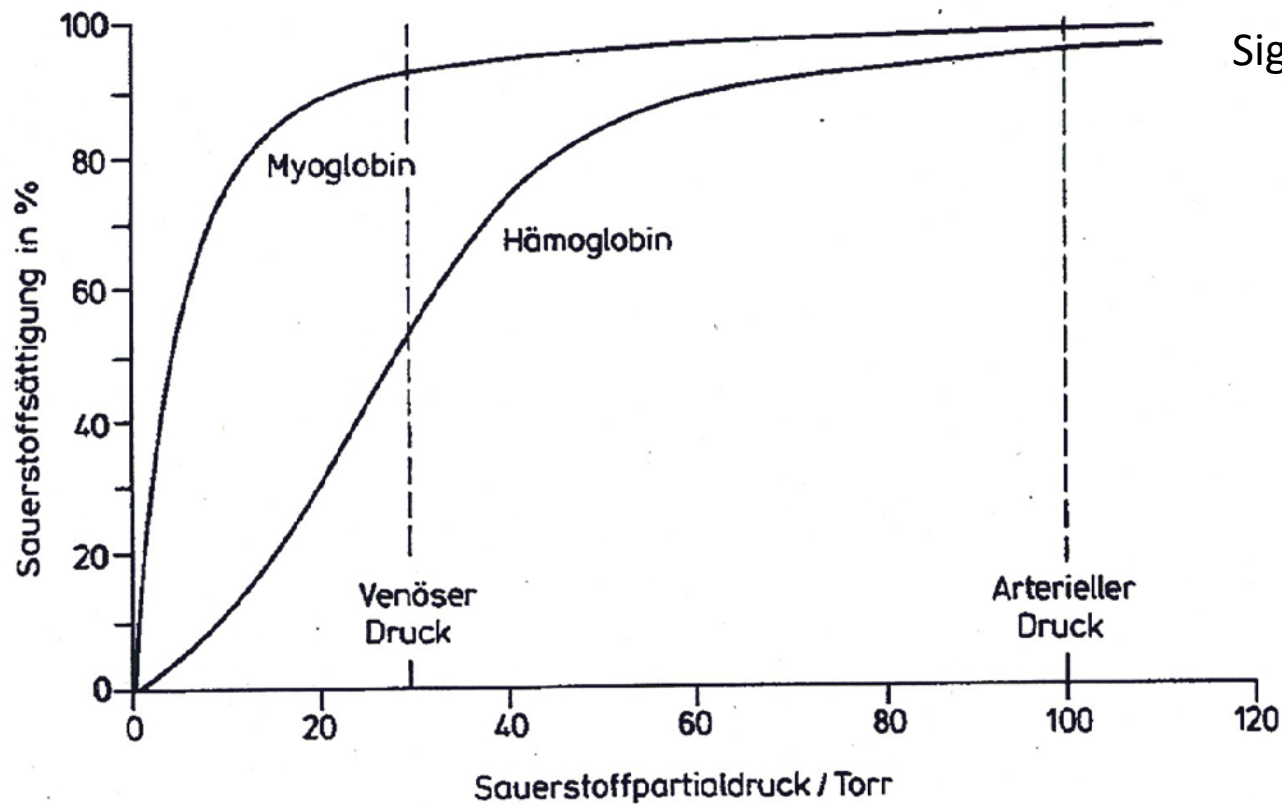


Beispiel zur Bedeutung sigmoider Bindungskurven:

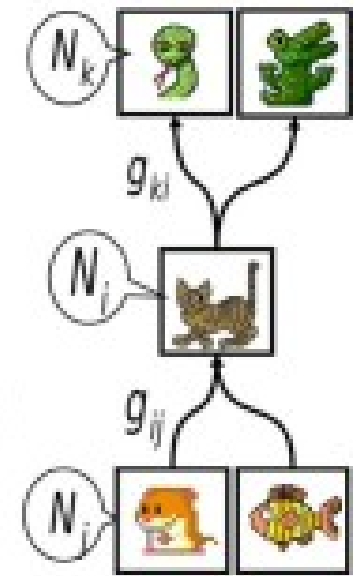
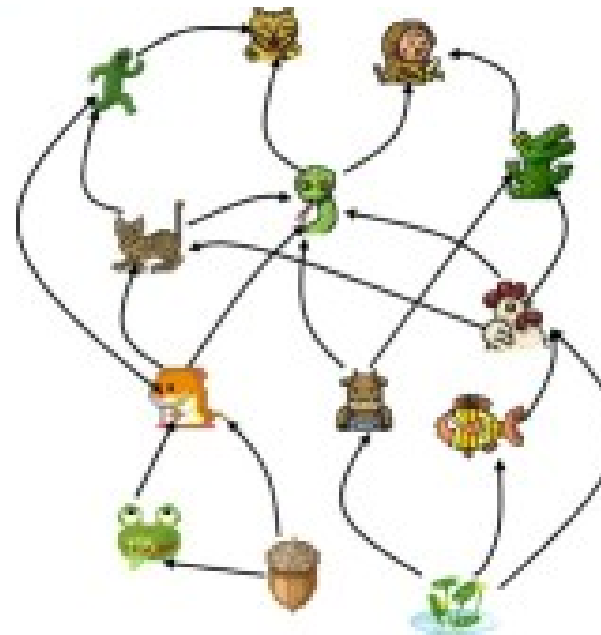
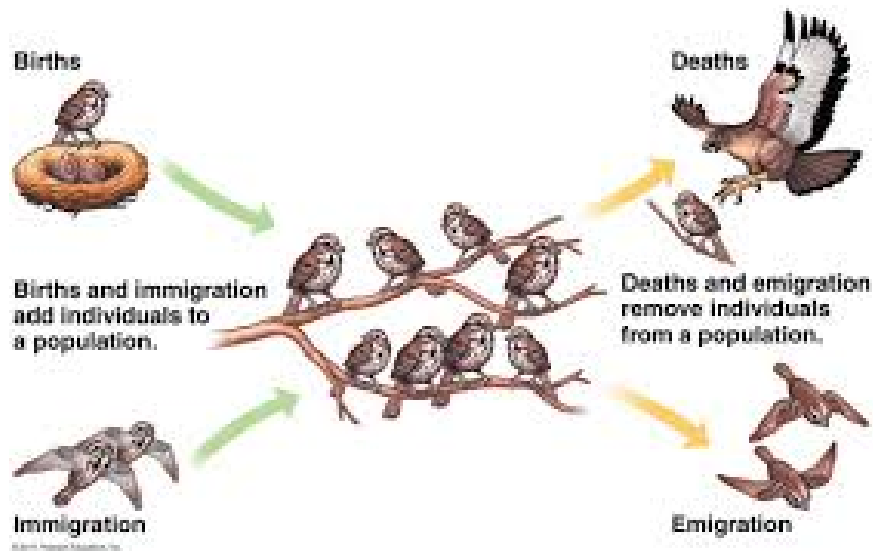
Myoglobin als Kurzzeitsauerstoffspeicher in Muskeln

hyperbolisch

Sigmoid



Populationsdynamik



Populationsdynamik:

Geburtenkoeffizient g, Sterbekoeffizient s

$$\frac{dN}{dt} = (g - s)N \quad \text{mit} \quad r = (g - s)$$

$$N = N_0 e^{rt}$$



Malthus-Gleichung geeignet für nicht-limitiertes Wachstum

Thomas Malthus
1766-1834

Nahrungsverknappung:

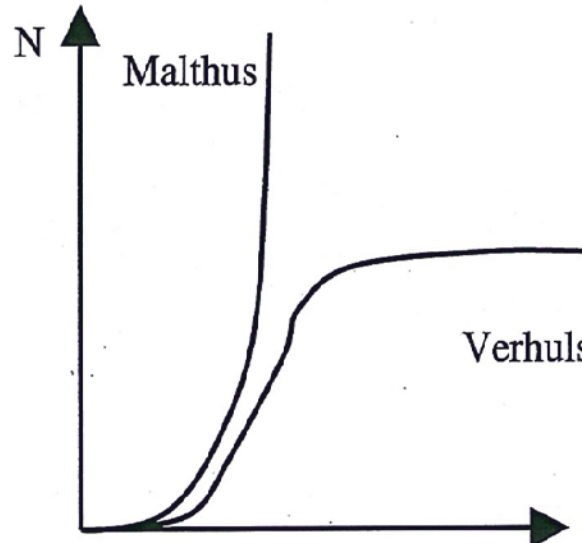
Annahme: Abnahme der Wachstumsgeschwindigkeit proportional zur Individuenanzahl

(Verhulst-Pearl)

$$r = r^0 - m N$$

$$\frac{dN}{dt} = (r^0 - m N)N$$

$$N = \frac{N_0 r_0 e^{r_0 t}}{r_0 + m N_0 (e^{r_0 t} - 1)}$$



Verhulst-Pearl

Pierre-Francois Verhulst
1804-1849

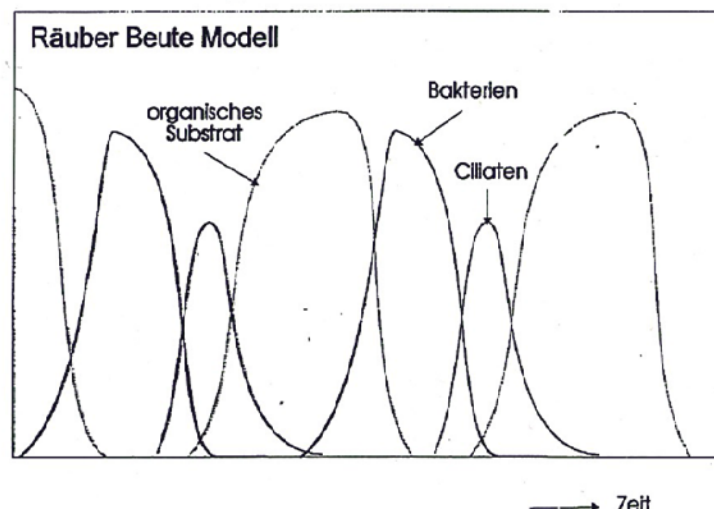
Logistische Gleichung (Medizin, Lebensmittelbiotechnologie)

Populationsdynamik komplexerer Systeme

Beispiel: 2 konkurrierende Arten

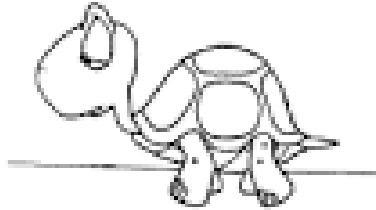
$$\frac{dN_1}{dt} = (r_1^0 - \alpha_{11} N_1 - \alpha_{12} N_2) N_1 \quad \alpha_{11} \alpha_{22} \text{ WWW von Individuen derselben Art}$$
$$\frac{dN_2}{dt} = (r_2^0 - \alpha_{22} N_2 - \alpha_{21} N_1) N_2 \quad \alpha_{12} \alpha_{21} \text{ gegenseitige WW.}$$

- Exklusion (Verschwinden)
- Koexistenz
- periodische Populationsschwankungen der Räuber-Beute-Korrelation

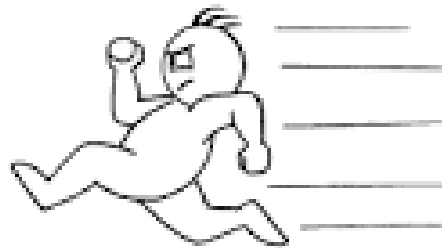


Lotka-Volterra Modell (1925/1926)

Probleme und deren Lösung bei schnellen Reaktionen?



vs.



Slow Reaction

Fast Reaction

Very slow reactions

Rusting of iron

$$4\text{Fe}(s) + 3\text{O}_2(g) + 2n\text{H}_2\text{O}(l) \rightarrow 2\text{Fe}_2\text{O}_3 \cdot n\text{H}_2\text{O}(s)$$

A photograph of a fire hydrant that is severely rusted and discolored, illustrating a very slow reaction.



Praktische Durchführung kinetischer Untersuchungen:

Problem: Was passiert bis zur Analyse ? Wie Proben einfrieren ?

1.) Konzentrationsproportionale Größen

- Druckänderung bei Gasreaktionen, bei kleinem P ideales Gas
- Leitfähigkeitsänderungen bei Ionenreaktionen in Lösung

$$P = \frac{nRT}{v}$$

$$\lambda = C F (u_+ + u_-)$$

- Drehung des Polarisationswinkels von Licht

- Absorption monochromatischen Lichtes

$$\lg\left(\frac{I}{I_0}\right) = A = \epsilon d c$$

(NADH bei 260 und 340 nm wohingegen NAD⁺ nur bei 260 nm)

- Fluoreszenz (gemessen 90 Grad, Absolutmessung, empfindlich)

(FR Fluoreszenzrate (Quanten/Zeit), φ_{FL} (Quantenausbeute))

(Beispiel: AS Tryptophan Anregung bei 220 nm und Emission bei 340nm)

$$FR = A (I_0 - I) \varphi_{FL} = A I_0 \varphi_{FL} (1 - 10^{-\epsilon c d}) \quad 10^x \approx 1 + X \ln(10) \quad \text{für } X \ll 1$$

$$FR = g c \epsilon \quad \text{mit } g = A I_0 \varphi_{FL} d \ln(10)$$

Praktische Durchführung kinetischer Untersuchungen:

Problem: Was passiert bei sehr schnellen Reaktionen ? Wie kann man den Einfluß der Mischkinetik minimieren?

Mischmethoden

Continuous flow-Methode $t=d/u$

(Geschwindigkeit einige m/s, hoher Chemikalienverbrauch)

Stopped flow-Methode

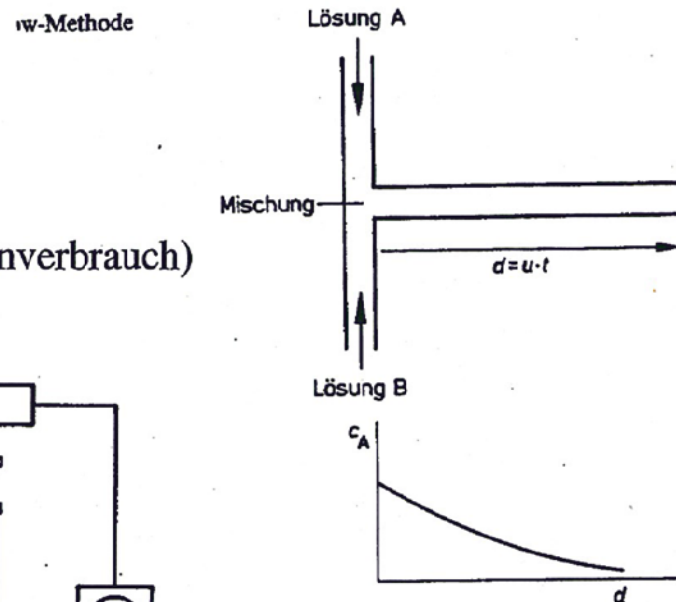
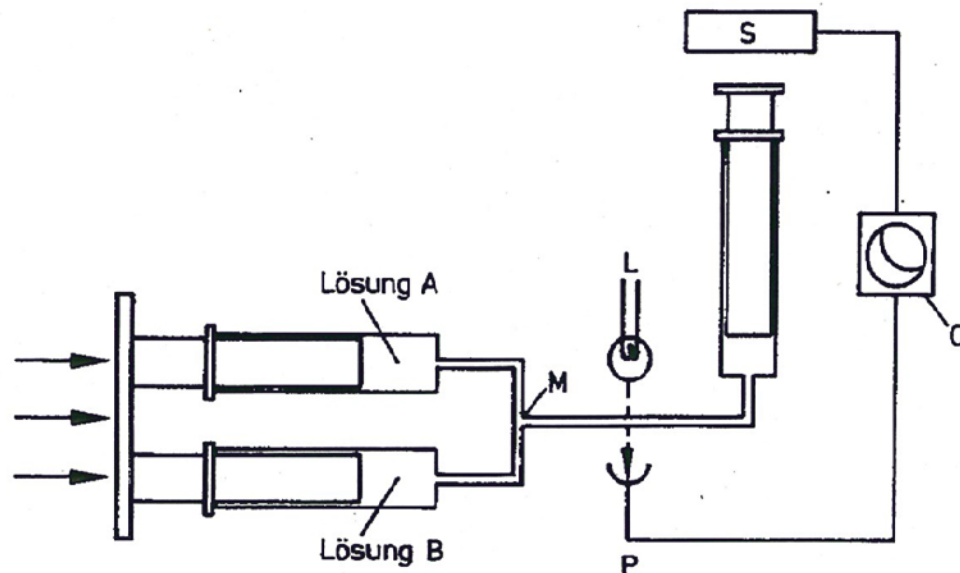


Abb. 10.24. Prinzip der Stopped flow-Methode

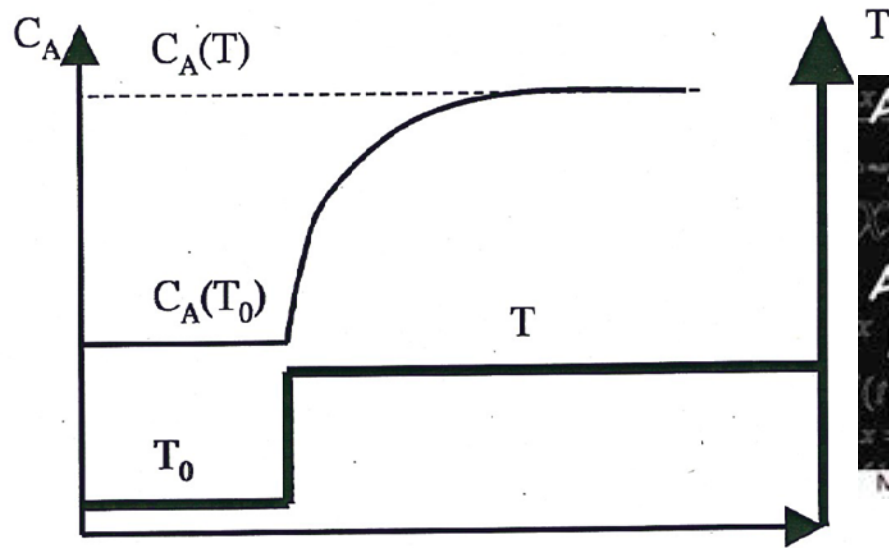
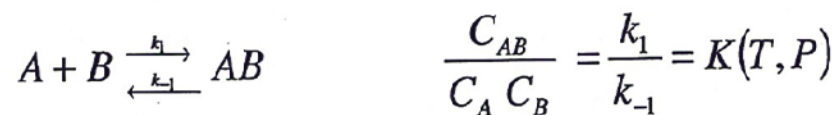
Praktische Durchführung kinetischer Untersuchungen:

Problem: Was kann man bei Reaktionen in ns-Bereich tun?

Relaxationsverfahren

(Störung eines GGW durch eine sprunghafte/periodische Änderung einer phys. Größe,

Manfred Eigen 1959) *Nobelpreis*



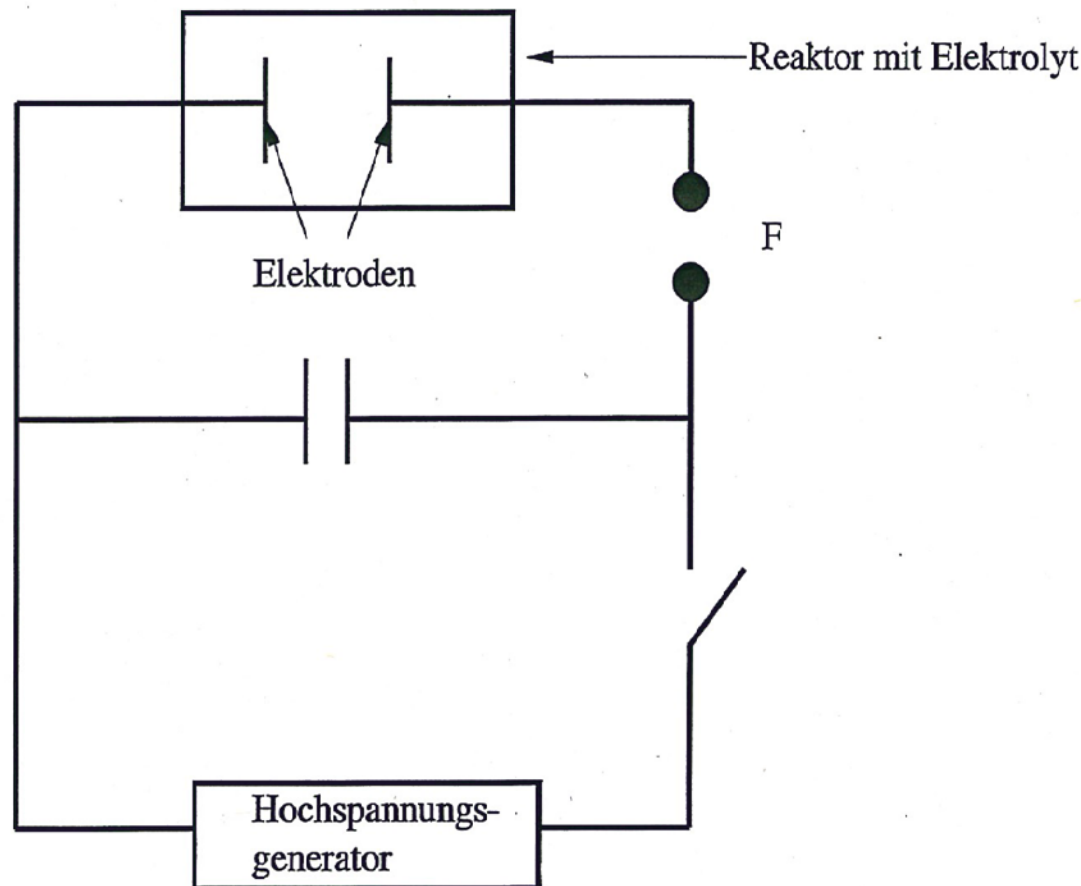
A theory has only the alternative of being right or wrong.
A model has a third possibility; it may be right, but irrelevant. Manfred Eigen

More science quotes at Today in Science History todayinsci.com

Relaxationsverfahren:

Problem: Wie erreicht man schnelle Aufheizraten?

ΔT ca. 5 - 10 K, Aufheizzeit von 50 ns bis 1 μ s

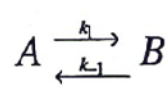


Relaxationsverfahren:

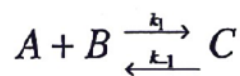
Mathematische Form für alle Konzentrationsrelaxationen (einstufige Reaktionen) identisch

$$C_A(t) = C_A^{eq}(T) \left(1 - a e^{-\frac{t}{\tau}} \right) \quad \text{mit} \quad a = \frac{C_A^{eq}(T) - C_A^{eq}(T_0)}{C_A^{eq}(T)}$$

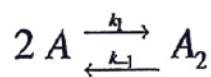
lediglich die Relaxationszeit unterscheidet sich



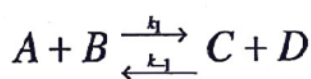
$$\frac{1}{\tau} = k_1 + k_{-1}$$



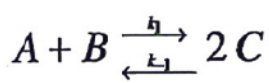
$$\frac{1}{\tau} = k_1 (C_A + C_B) + k_{-1}$$



$$\frac{1}{\tau} = 4 k_1 C_A + k_{-1}$$



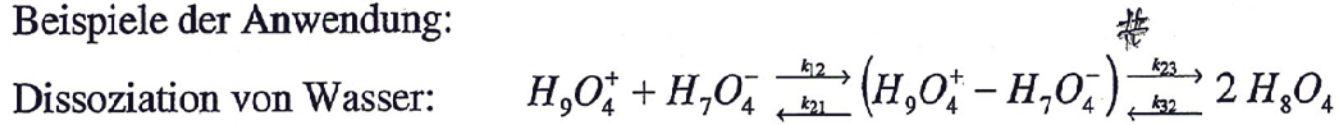
$$\frac{1}{\tau} = k_1 (C_A + C_B) + k_{-1} (C_C + C_D)$$



$$\frac{1}{\tau} = k_1 (C_A + C_B) + 4 k_{-1} C_C$$

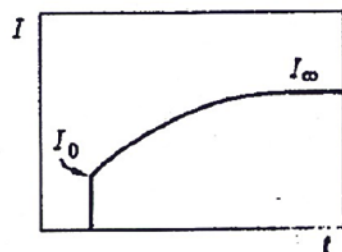
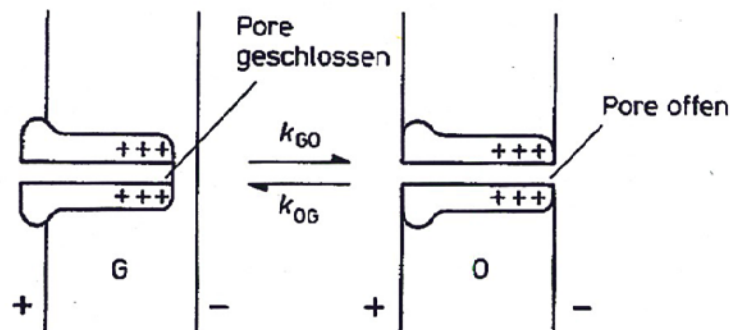
Relaxationsverfahren:

Beispiele der Anwendung:

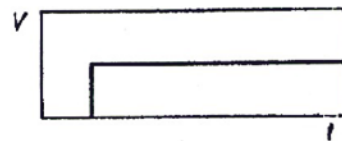


$$k_{12} = 1.4 \cdot 10^{11} \text{ M}^{-1} \text{ s}^{-1}$$

Kinetik eines Ionenkanals (Nervenerregung):



$$I(t) = I_\infty(T) \left(1 - a e^{-\frac{t}{\tau}}\right) \quad \text{mit} \quad a = \frac{I_\infty - I_0}{I_\infty}$$



$$\frac{1}{\tau} = k_{GO} + k_{OG}$$

MFA – Metabolic Flux analysis

Andere Begriffe: FBA - Flux Balance Analysis, MPA - Metabolic Pathway Analysis

Fluss-Definition: “Reaktionsgeschwindigkeit” bezogen auf die Trockenmasse.

$$CO_2\text{-Fluss} = \frac{CO_2\text{-produziert}}{t[s]} \left[mol l^{-1} \right] / Biomasse \left[mol l^{-1} \right]$$

Massenbilanz: (mathematische Grundlage der MFA)

Akkumulation = Reaktion + Transport

$$\frac{d M_n}{d t} = S_n v_n - b_n$$

M_n – Metabolitvektor

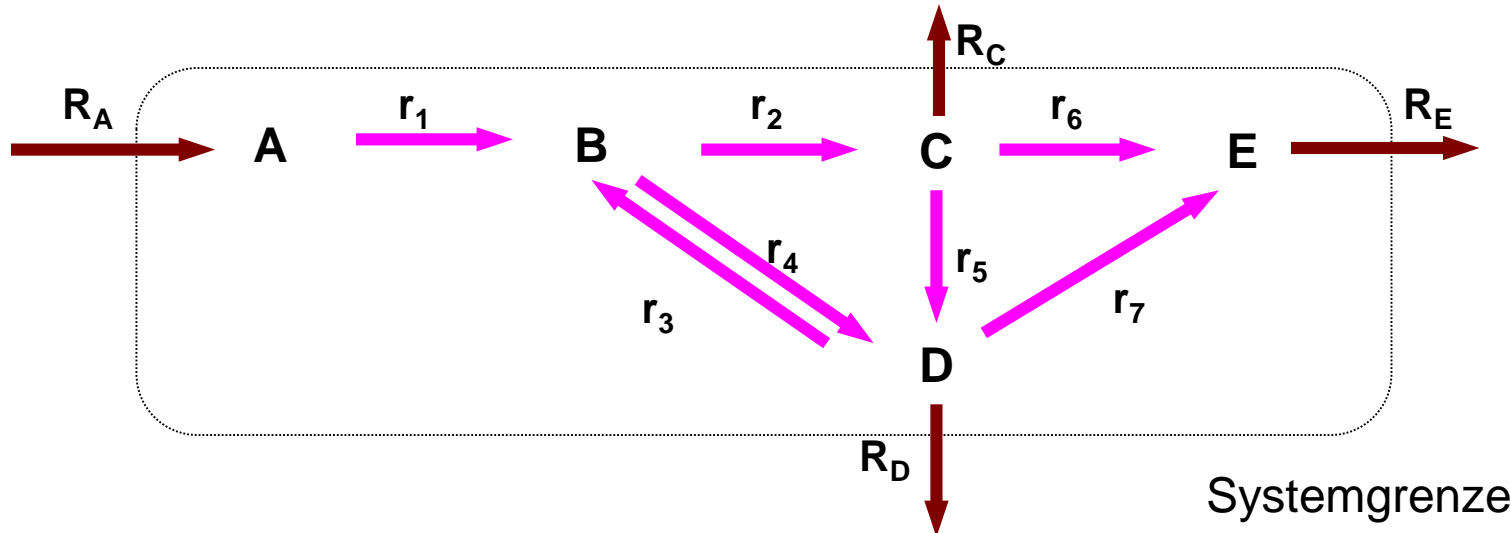
S_n – Stöchiometrische Matrix

b_n - Transportvektor

Grundannahme: *stationärer Zustand*

$$\frac{d M_n}{d t} = 0 = S_n v_n - b_n$$

Die Zeitkonstanten des Wachstums ist sehr viel größer als die assoziiert mit den Metabolitreaktionen



Massenbilanz

$$\mathbf{A} := \mathbf{r}_1 = -\mathbf{R}_A$$

$$\text{B: } +r_1 - r_4 - r_2 + r_3 = 0$$

C: $r2-r5-r6=+R_c$

D: -r3+r5+r4-r7=+R_D

E:=r6+r7=+R

$$S \cdot v = b$$

Zahl der Freiheitsgrade=

Zahl der unbekannten Flüsse – Anzahl
der Bestimmungsgleichungen- Anzahl der
exp. Informationen

> 0

$= 0$

< 0

Mehrere Lösungen
möglich; schließe
weitere Experimente ein;
oder Optimiere

→ Es existiert eine Lösung

System überbestimmt,
statistische Absicherung

Vorgehensweise

- I. Konstruktion der stöchiometrischen Matrix
- II. Einbau der experimentellen Parameters in das Modell
- III. Definieren der physiologisch sinnvollen Zielfunktion und der einschränkenden Bedingungen
- IV. Graphische Visualisierung und Analyse der Flüsse

Genutzte Reaktionen (*E. coli*)

Teil I

Glycolysis

-1ATP+1ADP+2Pi-1G1P+1Glycogen;
+1G1P-1G6P;
-1ATP+1ADP-1Glc+1Pi+1G6P;
+1F6P-1G6P;
-1F6P+1G6P;
+1NADH+1ATP-1ADP-1Pi-1T3P+1ThreePG;
-1NADH-1ATP+1ADP+1Pi+1T3P-1ThreePG;
+1PEP-1ThreePG;
-1PEP+1ThreePG;
+1ATP-1ADP-1Pi-1PEP+1Pyr;
-2ATP+2ADP+2Pi+1PEP-1Pyr;
+1CO-1ATP+1ADP+1Pi+1PEP-1OA;
-1CO-1PEP+1OA;
-1NADH-1Pyr+1Lactate;
+1NADH+1Pyr-1Lactate;
-1Pyr+1AcCoA+1Formate;
+1Pyr-1AcCoA-1Formate;
+1ATP-1ADP-1Pi-1AcCoA+1Acetate;
-1ATP+1ADP+1Pi+1AcCoA-1Acetate;
-2ATP+2ADP+2Pi+1AcCoA-1Acetate;
-2NADH-1AcCoA+1Ethol;
-1ATP+1ADP-1GL+1GL3P;
+1NADH+1T3P-1GL3P;
-1NADPH-1T3P+1GL3P;

Pentose Pathway

+2NADPH+1CO+1R5P-1G6P;
-1ATP+1ADP+1Pi+2T3P-1F6P;
+1Pi-2T3P+1F6P;
+1E4P-2R5P+1F6P;
-1E4P+2R5P-1F6P;
-1E4P+1T3P-1R5P+1F6P;
+1E4P-1T3P+1R5P-1F6P;
-1T3P+2R5P-1S7P;
+1T3P-2R5P+1S7P;
-1E4P+1T3P-1F6P+1S7P;
+1E4P-1T3P+1F6P-1S7P;

Citric Acid Cycle

+1CO+1NADH-1Pyr+1AcCoA;
-1OA-1AcCoA+1Citrate;
-1Citrate+1ICitrate;
+1Citrate-1ICitrate;
+1NADPH+1CO+1aKG-1ICitrate;
-1NADPH-1CO-1aKG+1ICitrate;
+1CO+1NADH-1aKG+1SuccCoA;
+1ATP-1ADP-1Pi-1SuccCoA+1Succ;
-1ATP+1ADP+1Pi+1SuccCoA-1Succ;
+1FADH-1Succ+1Fum;
-1Fum+1Malate;
+1Fum-1Malate;
+1NADH+1OA-1Malate;
+1NADPH+1CO+1Pyr-1Malate;
+1CO+1NADH+1Pyr-1Malate;

Gloxalate Shunt

-1AcCoA-1Glx+1Malate;
+1Succ+1Glx-1ICitrate;

Transfer of 1 Carbon Compounds

-1DHF-1NADPH;
-1GLY+1NH+1MethyleneTHF+1CO;
-1MethyleneTHF-1FADH+1MethylTHF;
-1MethyleneTHF+1MethenylHF+1NADH;
-1MethenylHF+1FormylTHF;

Genutzte Reaktionen (*E. coli*)

Teil II

Trans-hydrogenation reactions

-1NADPH+1NADH;
+1NADPH-1NADH-2Hexp;
-1NADH+1QH;
-1NADH+2Hexp+1QH;
-1FADH+1QH;
+2Hexp-1QH-0.5Oxygen;
-1ATP+1ADP+1Pi+3Hexp;
+1ATP-1ADP-1Pi-3Hexp;

Lipid Synthesis

-1CO-1ATP+1ADP+1Pi-1AcCoA+1MalACP;
-12NADPH-1AcCoA-6MalACP+1C4C;
-11NADPH-1AcCoA-6MalACP+1C4iC;
-14NADPH-1AcCoA-7MalACP+1C6C;
-13NADPH-1AcCoA-7MalACP+1C6iC;
-15NADPH-1AcCoA-8MalACP+1C8iC;
-1GL3P-1C6C-1C6iC+1PA;
+1PPi-1CTP-1PA+1CDPDG;
-1SER+1CMP-1CDPDG+1PS;
+1CO-1PS+1PE;
+1Pi+1CMP-1GL3P-1CDPDG+1PG;
+1GL-2PG+1CL;

Amino Acid Synthesis

-1CO-1GLN-2ATP+1GLU+1CAP+2ADP+1Pi;
-1NADPH-1ATP+1ADP+4Pi-1E4P-2PEP+1Chor;
+1CO-1GLU-1Chor+1aKG+1PHE;
+1CO+1NADH-1GLU-1Chor+1aKG+1TYR;
+1CO-1GLN+1GLU-1Chor-1PRPP+1IGP+1Pyr+1PPi;
-1IGP-1SER+1T3P+1TRP;
-1GLU+1aKG-1OA+1ASP;
-1GLN-1ATP+1GLU+1ADP+1Pi-1ASP+1ASN;
-1NADPH-1ATP+1ADP+1Pi-1ASP+1ASPSA;
-1NADPH-1GLU+1aKG-1Pyr-1ASPSA-
1SuccCoA+1Succ+1mDAP;
+1CO-1mDAP+1LYS;
-1NADPH-1ASPSA+1HSer;
+1NH-1MethylTHF+1Pyr-1SuccCoA+1Succ-1HSer-
1CYS+1MET;
-1ATP+1ADP+2Pi-1HSer+1THR;
-1NADPH+1NH+1CO-1GLU+1aKG-1Pyr-1THR+1ILE;
-1NADPH-1NH+1GLU-1aKG;
-1NH+1GLN-1ATP-1GLU+1ADP+1Pi;
-1NADPH-1GLN+2GLU-1aKG;
-2NADPH-1NADH-1ATP-1GLU+1ADP+1Pi+1PRO;
-1NADPH-1ATP-2GLU+1ADP+1Pi+1aKG-
1AcCoA+1Acetate+1Om;
-1CAP+1Pi-1Om+1Citr;
-1ATP+1PPi-1ASP-1Citr+1Fum+1ARG+1AMP;
-1GLU+1aKG+1SER-1ThreePG;
+1GLY+1MethyleneTHF-1SER;
-1SER+1CYS-1AcCoA+1Acetate-1H2S;
-1GLU+1aKG-1Pyr+1ALA;
-1NADPH+1CO-2Pyr+1Kval;
-1GLU+1aKG-1Kval+1VAL;
+1CO+1NADH-1GLU+1aKG-1AcCoA-1Kval+1LEU;
-1ATP+1PRPP+1AMP-1R5P;
+2NADH-1GLN-1ATP+1Pi+1aKG-1PRPP+2PPi+1HIS+1PRAIC;
-1GLY-1CO-1MethenylHF-2GLN-4ATP+2GLU+4ADP+4Pi-
1PRPP+1PPi-1ASP+1Fum+1PRAIC;

Genutzte Reaktionen (*E. coli*)

Teil III

Nucleotide Biosynthesis

-1FormylTHF-1PRAIC+1IMP;
+1Pi-1ASP+1Fum+1AMP-1IMP-1GTP+1GDP;
+1NADH-1GLN-1ATP+1GLU+1PPi+1AMP-1IMP+1GMP;
+1CO+1FADH-1CAP+1Pi-1PRPP+1PPi-1ASP+1UMP;
-1GLN-1ATP+1GLU+1ADP+1Pi-1UTP+1CTP;
-1ATP+2ADP-1AMP;
-1ATP+1ADP+1GDP-1GMP;
-1ATP+1ADP-1UMP+1UDP;
-1ATP+1ADP-1CMP+1CDP;
-1ATP+1ADP+1GTP-1GDP;
+1ATP-1ADP-1GTP+1GDP;
-1ATP+1ADP+1UTP-1UDP;
-1ATP+1ADP+1CTP-1CDP;
+1Pi-1CTP+1CDP;
-1ADP-1TREDH+1dADP;
-1GDP-1TREDH+1dGDP;
-1CDP-1TREDH+1dCDP;
-1UDP-1TREDH+1dUDP;
-1ATP+1ADP-1dADP+1dATP;
-1ATP+1ADP-1dGDP+1dGTP;
-1ATP+1ADP-1dCDP+1dCTP;
-1ATP+1ADP-1dUDP+1dUTP;
+1DHF-1MethyleneTHF-2ATP+2ADP+1PPi-
1dUTP+1dTTP;
+1NH-1dCTP+1dUTP;
-1NADPH+1TREDH;

Cell Wall Synthesis

-1GLN+1GLU+1PPi-1AcCoA-1UTP-1F6P+1UDPNAG;
+2Pi-1PEP+1PPi-1R5P-1CTP+1CMPKDO;
-1ATP+6ADP+2Pi+1PPi+2Acetate+1UMP+1UDP+3CMP+3CDP-
2C4C-4C4iC-2UDPNAG-3CMPKDO-3CDPEtN-2ADPGlc-
3ADPHexp+1LPS;
+1CO-1ATP+1ADP+1PPi-1SER-1CTP+1CDPEtN;
-1ATP+1PPi+1ADPGlc-1G1P;
-1ATP+1PPi+1ADPHexp-1S7P;
-1NADPH-5ATP-1GLU+5ADP+7Pi-1PEP-1mDAP-
2ALA+1UMP+1UDP-2UDPNAG+1Pept;
+1CO-1Om+1PTRSC;
+1MethyleneTHF+1CO-2ATP+1ADP+1Pi+1PPi-
1MET+1AMP+1H2S-1PTRSC+1SPRMD;

Sulphur

-4NADPH-2ATP+1ADP+1Pi+1PPi+1AMP+1H2S;

Phosphate

+2Pi-1PPi;

Transport

+1Pi;
+1Oxygen;
+1NH;
-1CO;
-1BIOM;
+1Glc;
+1Acetate;

Wachstumsgleichung

Resultiert aus den Metabolitanforderungen für eine gegebene Biomassezusammensetzung von *E.coli*.

+1BIOM-0.582GLY-0.0485MethylTHF-0.25GLN-**45.135ATP+44.96ADP+ 44.96Pi-**
0.25GLU-0.176PHE-0.131TYR-0.205SER-0.054TRP-0.229ASP-0.229ASN-0.326LYS-
0.087CYS-0.146MET-0.241THR-0.276ILE-0.21PRO-0.281ARG-0.488ALA-0.402VAL-
0.428LEU-0.09HIS-0.203GTP-0.136UTP-0.126CTP-0.0247dATP-0.0254dGTP-
0.0254dCTP-0.0247dTTP-0.00258PS -0.09675PE-0.02322PG-0.00645CL-
0.00785LPS-0.0276Pept-0.0341PTRSC-0.007SPRMD-0.154Glycogen;

Millimoles Metabolit in 1 g trockene Biomasse

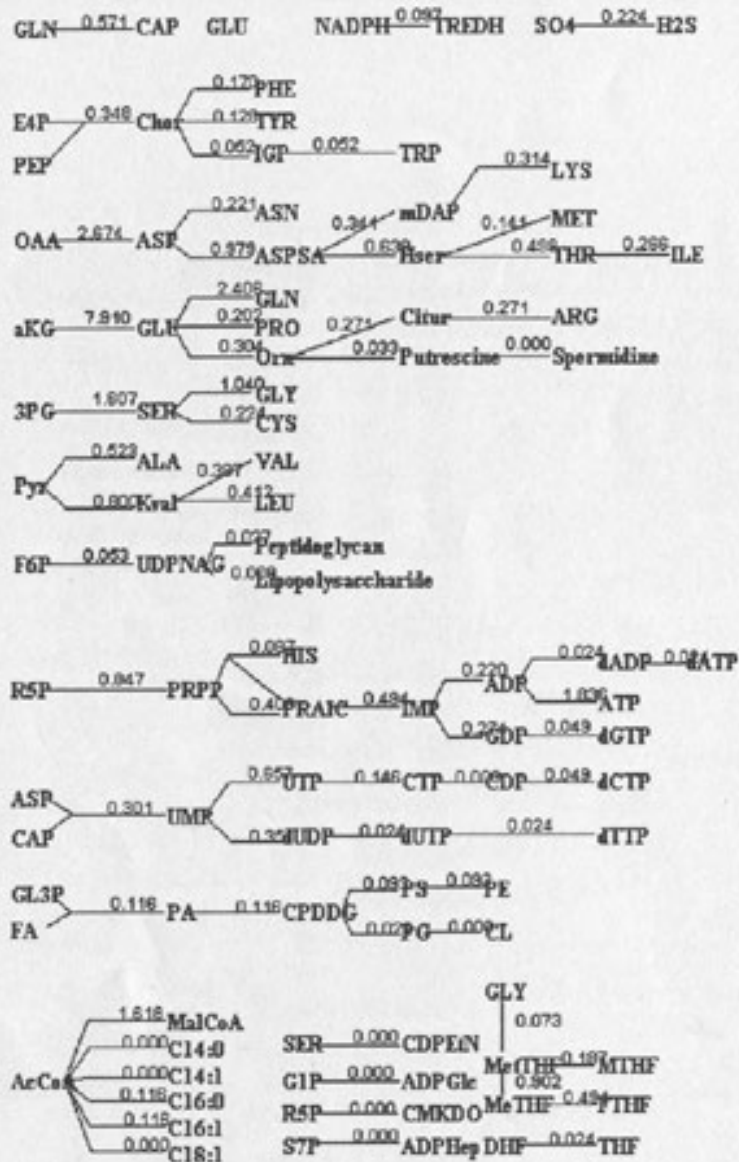
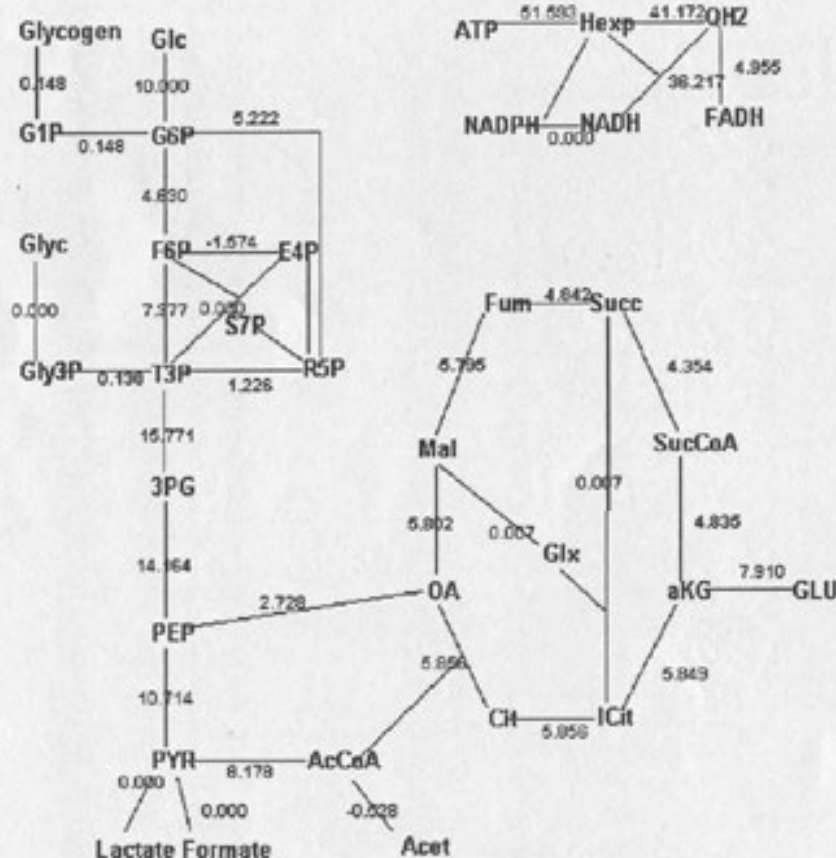
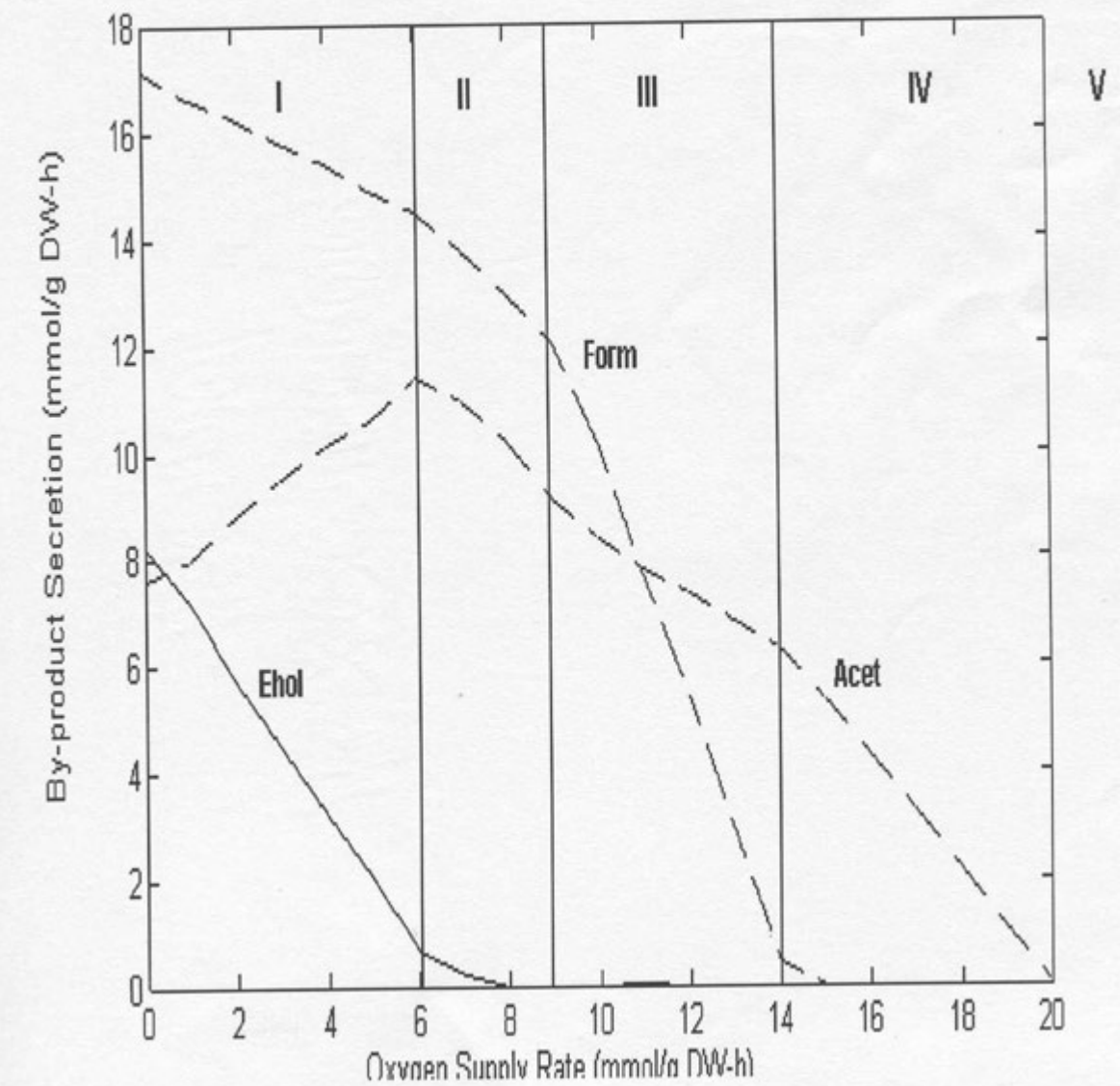
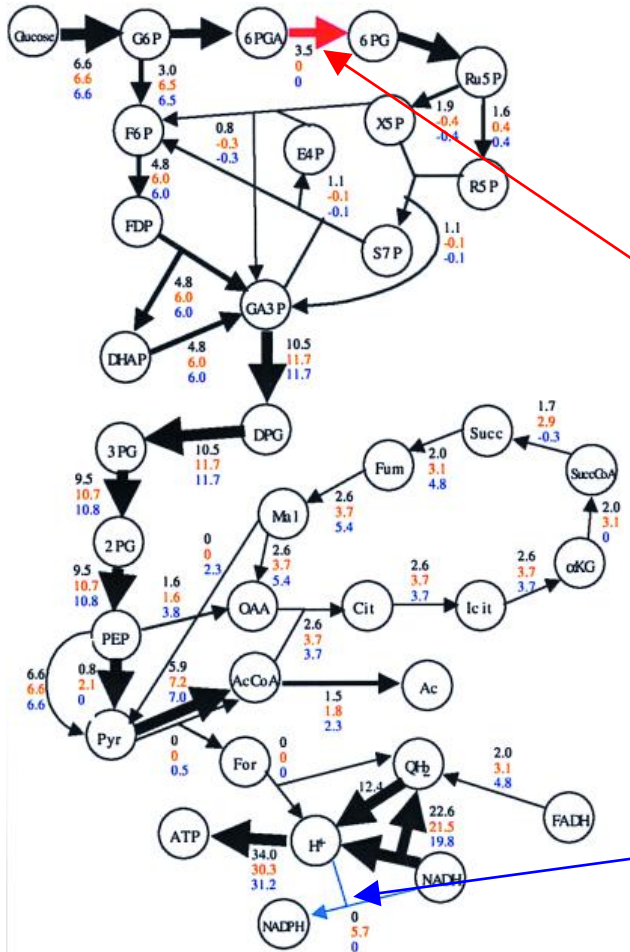


Figure 2. Optimal Flux distribution with 10 mmol/g DW-h Glucose

Optimal By-product Secretion for Various Oxygenation Rate



Edwards & Palsson (2000)

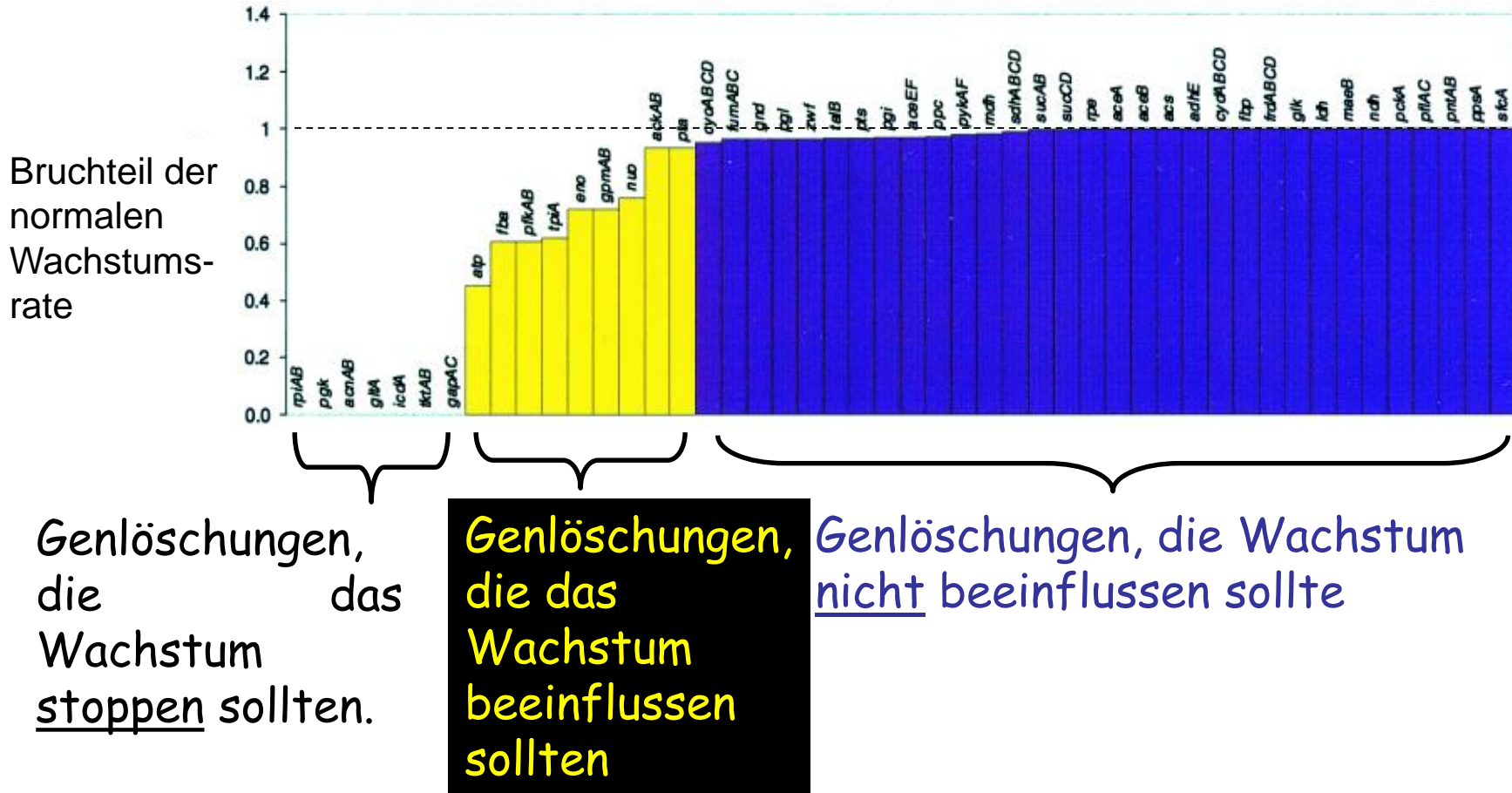


Reference: PNAS 97: 5528-33, 2000.

Metabolic Flux Analysis wird angewandt um die Konsequenzen der Lösung von Enzymen für *E. coli* vorherzusagen.

Konsequenzen der Lösung von Enzymen.

Edwards & Palsson (2000)



Edwards & Palsson (2000)

Vergleich der Vorhersagen zum Verhalten der *E. coli* Mutanten mit dem Experiment zeigt:

In 68 von 79 Fällen (86%) stimmt die Vorhersage !!!

Anwendungen

- Quantifizierung der verschiedenen intrazellulären Flüsse
- Identifizierung metabolischer Flaschenhälse
- Berechnung nicht-messbarer extrazellulärer Flüsse
- Einfluss alternativer Routen auf die Flussverteilung
- Berechnung des maximal möglichen Ertrages
- Hinweise zur phenotypischen Optimierung
- Hinweise zur genotypischen Optimierung

Theorie chemischer Reaktionen / Temperaturabhängigkeit d. Geschwindigkeitskonstanten

1) Arrhenius Theorie (1885)



$$r_A = k C_{A^*}$$

Idee: nur ein Bruchteil der Ausgangsstoffe A ist für eine Reaktion befähigt (aktivierte A^*)
diese stehen im GGW mit den passiven Molekülen

$$K^* = \frac{C_{A^*}}{C_A}$$

$$r_A = k K^* C_A$$

$$K^*(T) = C \exp\left(-\frac{\Delta U^*}{RT}\right)$$

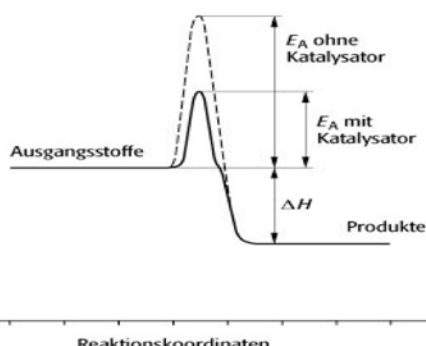
van't Hoff'sche Reaktionsisochore

$$k(T) = A \exp\left(-\frac{E_A}{RT}\right)$$

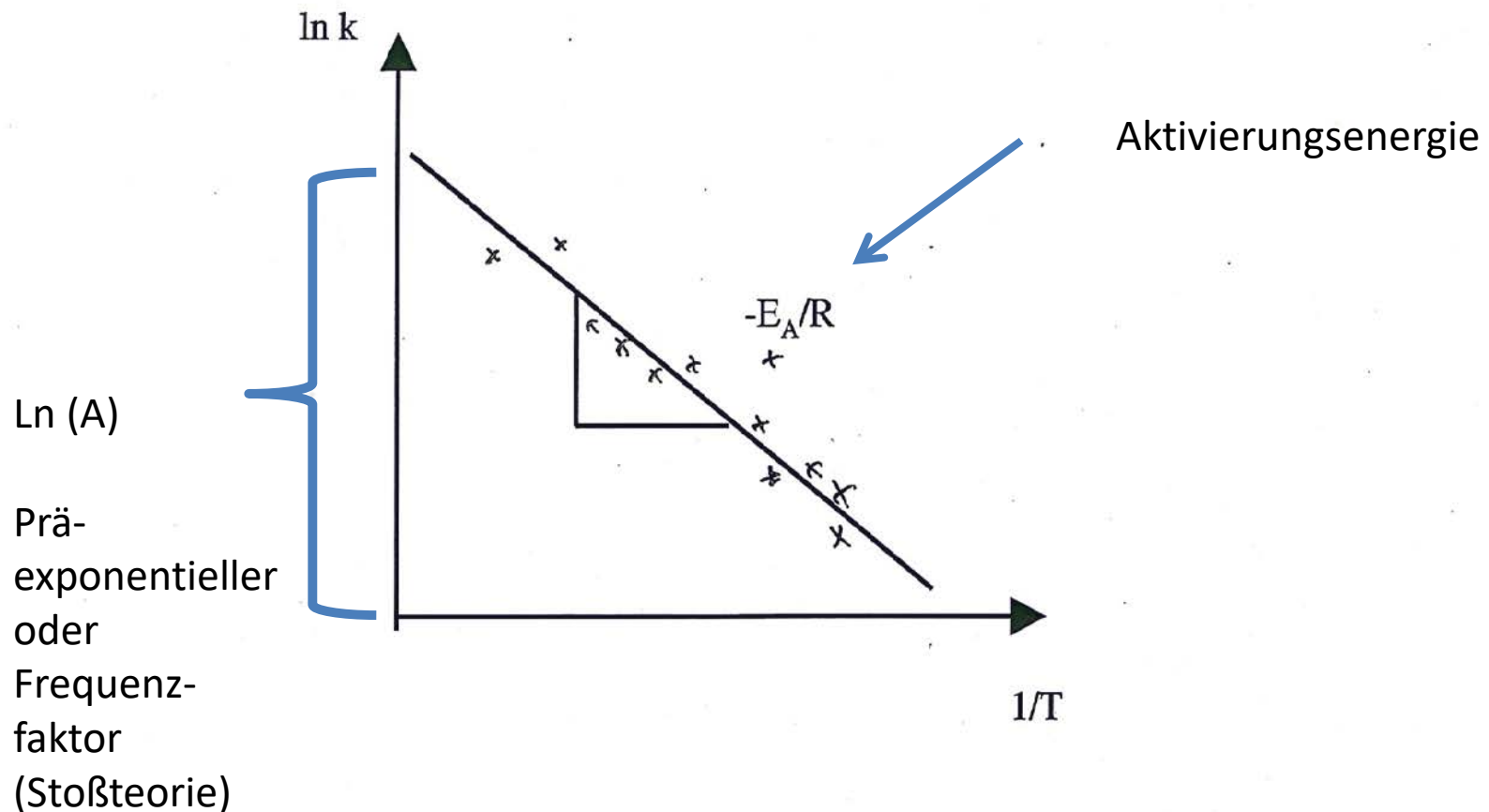
E_A Aktivierungsenergie

A Frequenz- oder Häufigkeitsfaktor

A^*



Ermittlung der Arrheniuskonstanten



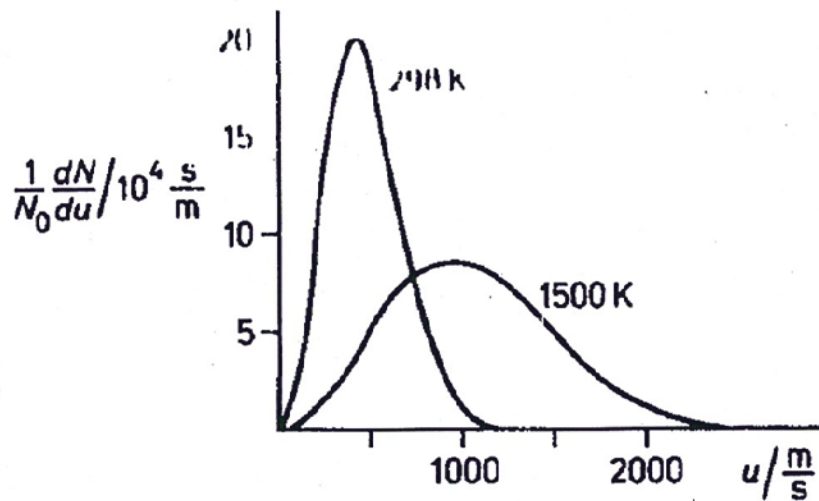
Theorie chemischer Reaktionen

2) Stoßtheorie

Moleküle begegnen sich im Reaktionsraum (stoßen, kollidieren)

nur energiereiche Stöße überwinden eine Reaktionsbarriere, führen zur Reaktion

die Geschwindigkeits-, Energieverteilung folgt aus der kinetischen Gastheorie



$$\frac{1}{N_0} \frac{dN}{du} = \frac{m}{kT} u \exp\left(-\frac{mu^2}{2kT}\right)$$



Boltzmann
 v - Geschwindigkeit

m - Masse

T - Temperatur

k - Boltzmann-Konstante

Z_{AB}	Zahl der Zusammenstöße
$\frac{d N_A}{d t} = k N_A N_B = Z_{AB} Q p$	Q der Bruchteil der Stöße, der zu einer Reaktion führt
	p Anteil der sterisch günstigen Stöße

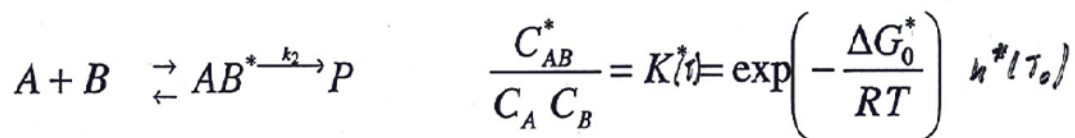
$$k = p (d_A + d_B)^2 \sqrt{\frac{\pi R T}{2 \mu}} e^{-E_A/RT} \mu^{(d_A+d_B)} \text{Summe der Moleküldurchmesser}$$

reduzierte Molmasse $M_A M_B / (M_A + M_B)$

Besonderheit: Temperaturabhängigkeit des Frequenzfaktors

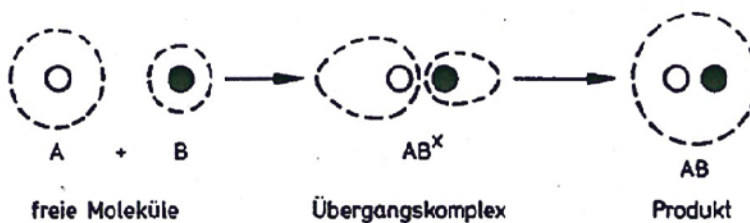
Theorie chemischer Reaktionen

3) Eyring Theorie



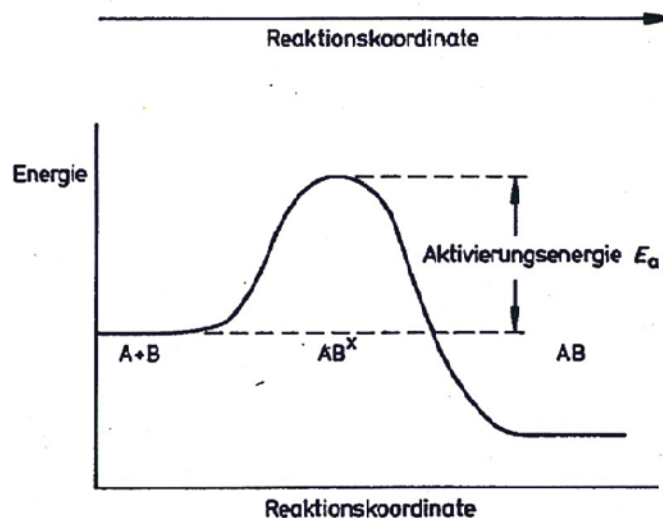
kurzlebige Zwischenzustände AB^* , die durch ein GGW beschrieben werden, das durch eine Folgereaktion kaum gestört wird

$$k = \frac{k_B T}{h} \exp\left(\frac{\Delta S_0^*}{R}\right) \exp\left(-\frac{\Delta H_0^*}{RT}\right)$$



$$\begin{aligned} \frac{dP}{dt} &= k_2 C_{AB^*} = k_2 k^*(T) C_A C_B \\ &= k_2 h^*(T_0) \exp\left(-\frac{\Delta G_0^*}{RT}\right) C_A C_B \\ k &= \frac{k_B T}{h} \exp\left(\frac{\Delta S_0^*}{R}\right) \exp\left(-\frac{\Delta H_0^*}{RT}\right) \end{aligned}$$

QC



Thank you for your attention and...

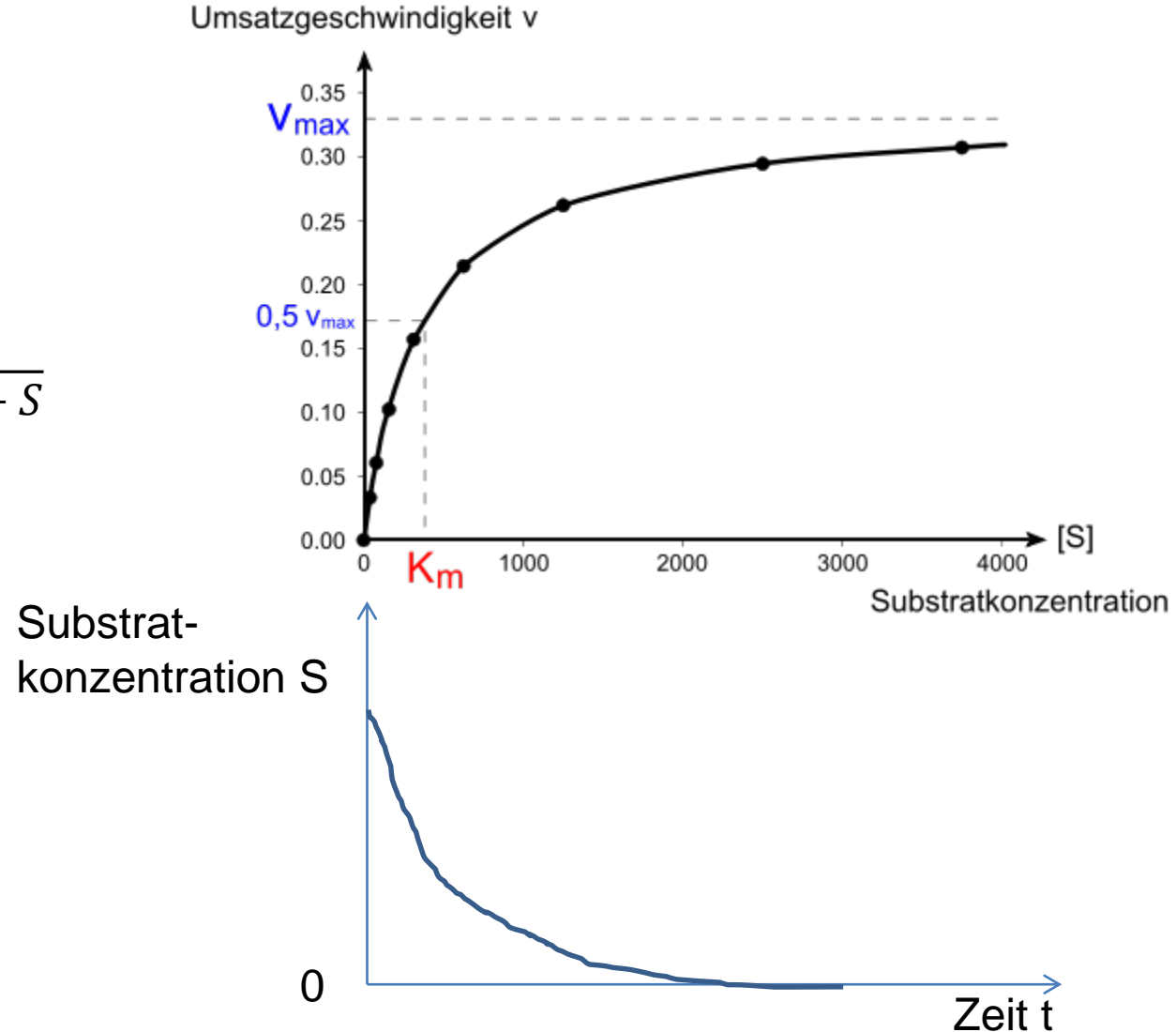


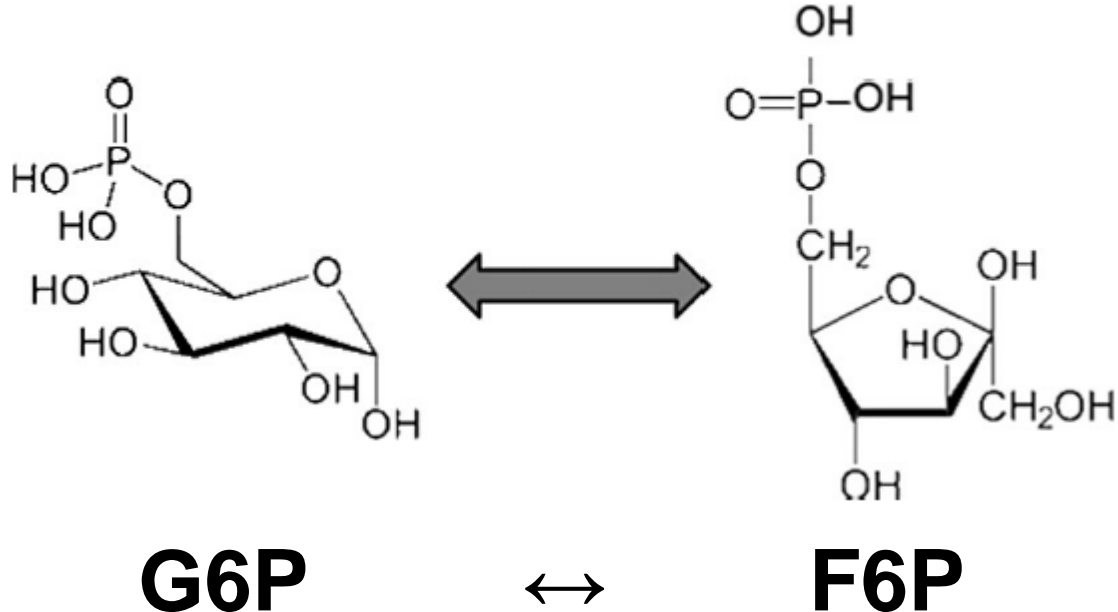
Reservefolien

- Inhalt schon bei irreversibler Thermodynamik gezeigt

Warum ist Michaelis/Menten manchmal unzureichend?

$$\frac{dS}{dt} = r = r_{Max} \cdot \frac{S}{k_S + S}$$

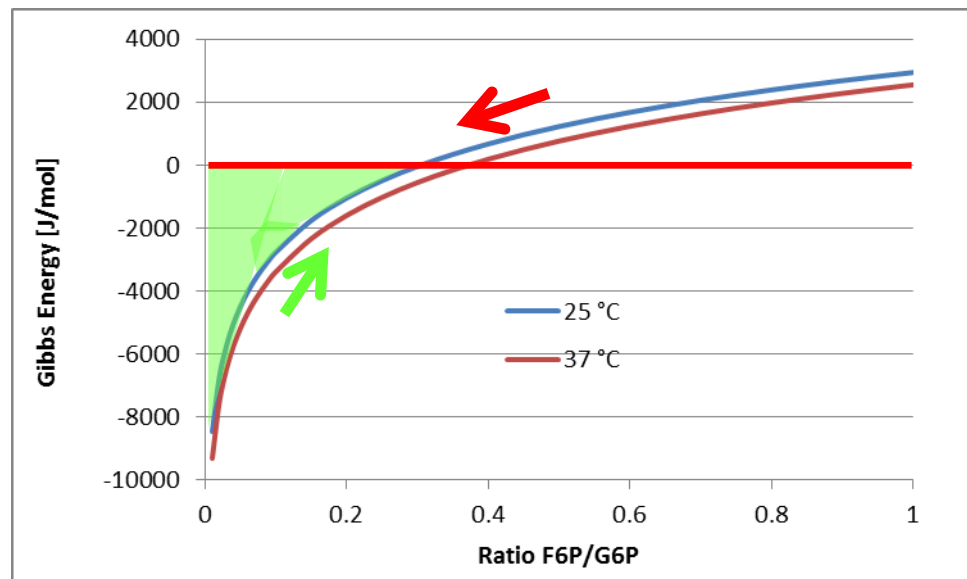




G6P \leftrightarrow

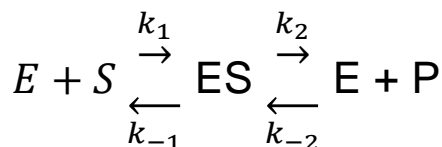
F6P

Das heißt, die Reaktion kommt zum Erliegen, obwohl $S \neq 0$
Also Widerspruch zu Michaelis
Menten

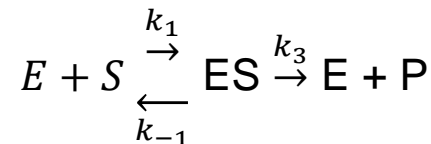


Die Lösung: Reversible Michaelis Menten Kinetik

reversibel



konventionell; irreversibel



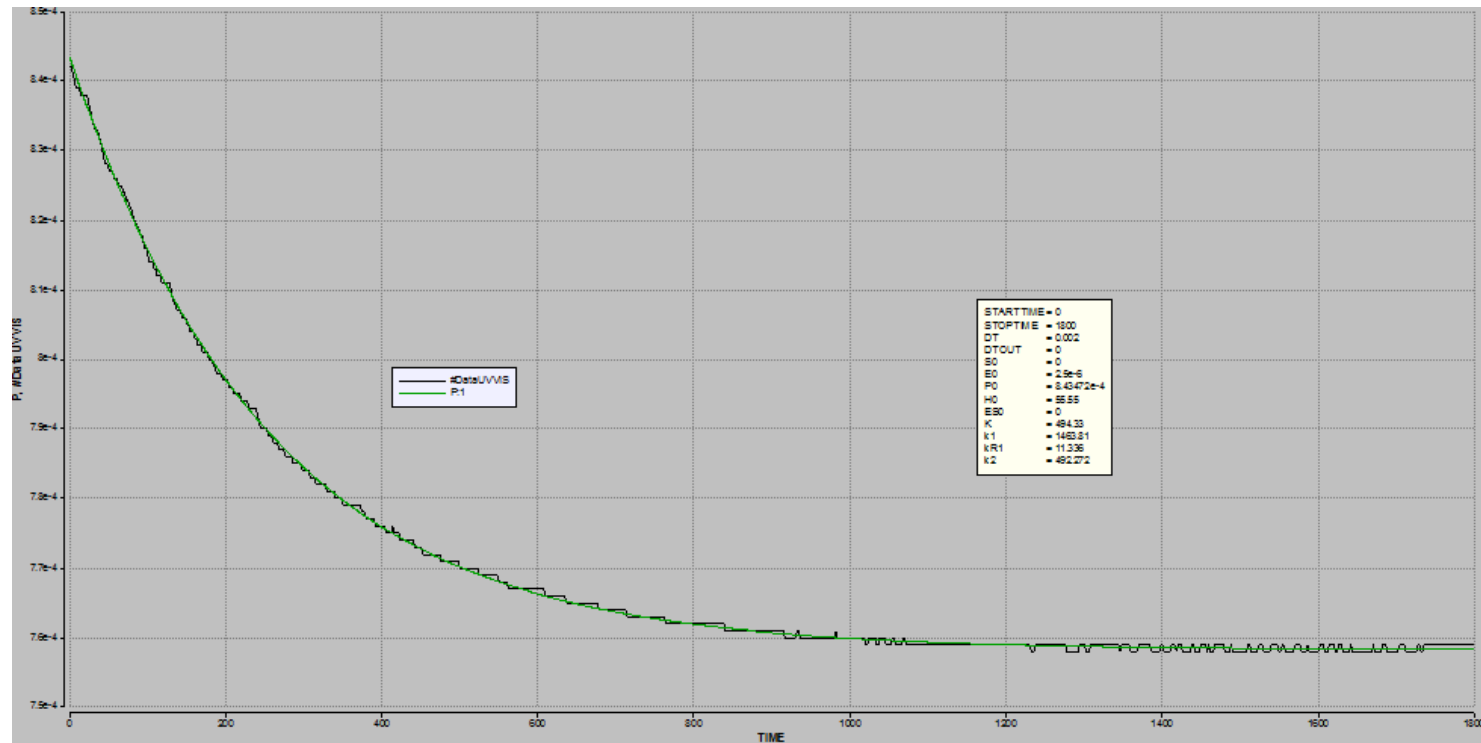
$$r = \frac{\frac{k_1 \cdot k_2 \cdot S \cdot E_0}{k_{-1} + k_2} - \frac{k_{-1} \cdot k_{-2} \cdot P \cdot E_0}{k_{-1} + k_2}}{1 + \frac{k_1 \cdot S}{k_{-1} + k_2} + \frac{k_{-2} \cdot P}{k_{-1} + k_2}}$$

4 Parameter, aber Geschwindigkeitskonstanten nicht unabhängig, es gelten die Gleichgewichtsbedingungen

$$K_1 = \frac{[ES]}{[S] \cdot [E]} = \frac{k_1}{k_{-1}} \quad K_2 = \frac{[E] \cdot [P]}{[ES]} = \frac{k_2}{k_{-2}} \quad K = K_1 \cdot K_2 = \frac{[P]}{[S]} = \frac{k_1 \cdot k_2}{k_{-1} \cdot k_{-2}}$$

Tolle Gleichung ??? Leicht zu verstehen???

Interpoliert super, aber die Parameter sind „beliebig“ oder auch „sch...e“



Ok, dann vereinfachen wir: die Hoh - Gleichung

$$r = r_{Max} \frac{(S - P/K)}{(k_m + (S + P/K))}$$

Super, nur noch 3 Parameter

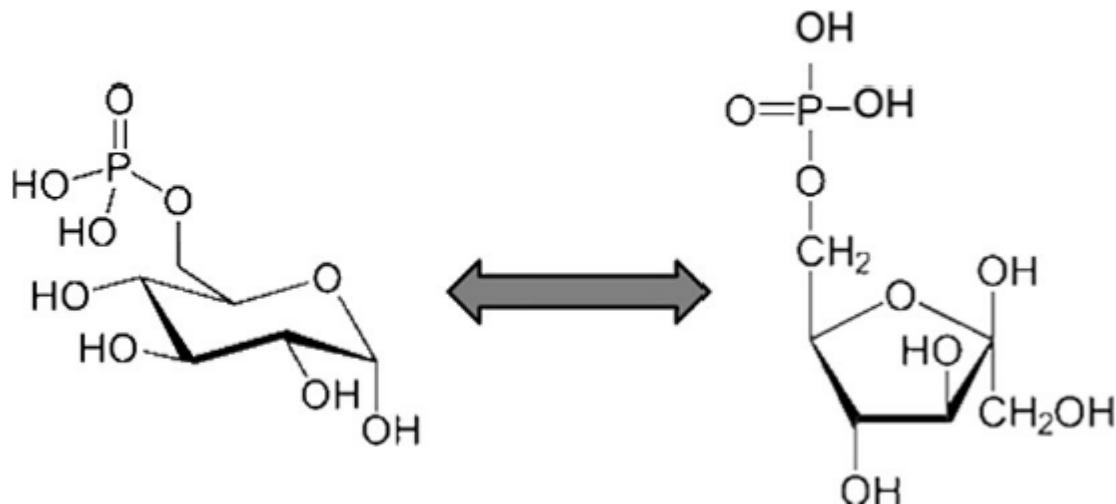
Massenbilanz

$P = S^0 - S$

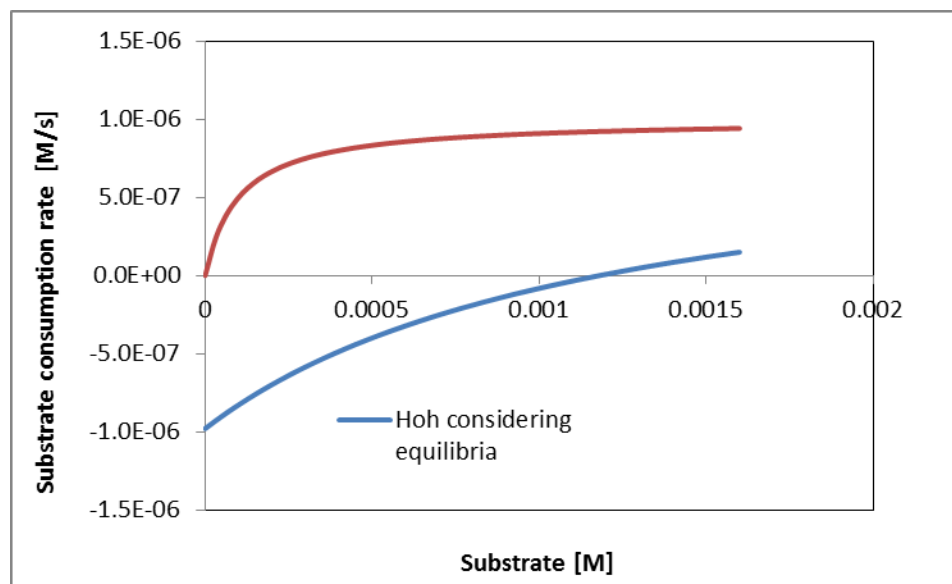
$$r = r_{Max} \frac{\left(S - (S^0 - S)/K\right)}{\left(k_m + \left(S + (S^0 - S)/K\right)\right)}$$

für $S=S^0$

$$r = r_{Max} \frac{(S)}{(k_m + S)}$$



$$r = r_{Max} \frac{(S)}{(k_m + S)}$$



$$r = r_{Max} \frac{\left(S - \frac{(S^0 - S)}{K} \right)}{\left(k_m + \left(S + \frac{(S^0 - S)}{K} \right) \right)}$$

Ein Geschwindigkeitsgesetz mit separaten Faktoren (Noor, 2014)

Halbthermodynamisches Modell

$$r = V^+ \cdot \kappa \cdot \gamma$$

V^+ = Kapazitätsterm

κ = Sättigungsterm

γ = Thermodynamischer Term

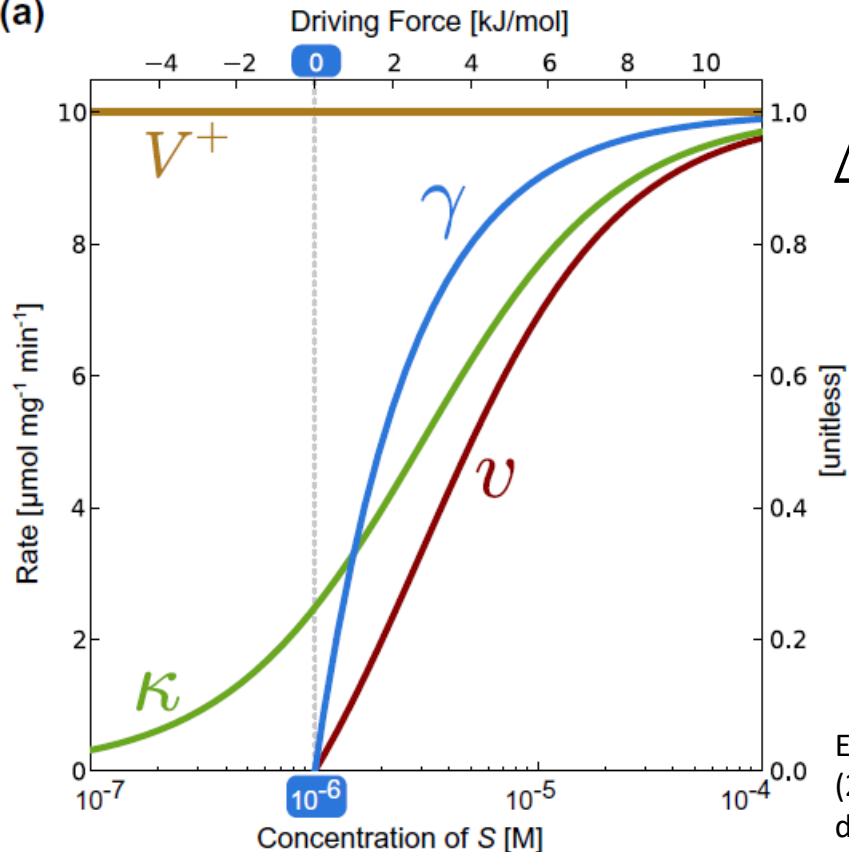
$$V^+ = E_0 \cdot k_{cat}^+$$

$$\kappa = \frac{S/K_S}{1+S/K_S+P/K_P}$$

$$\gamma = 1 - e^{\Delta_r G / R \cdot T}$$



(a)



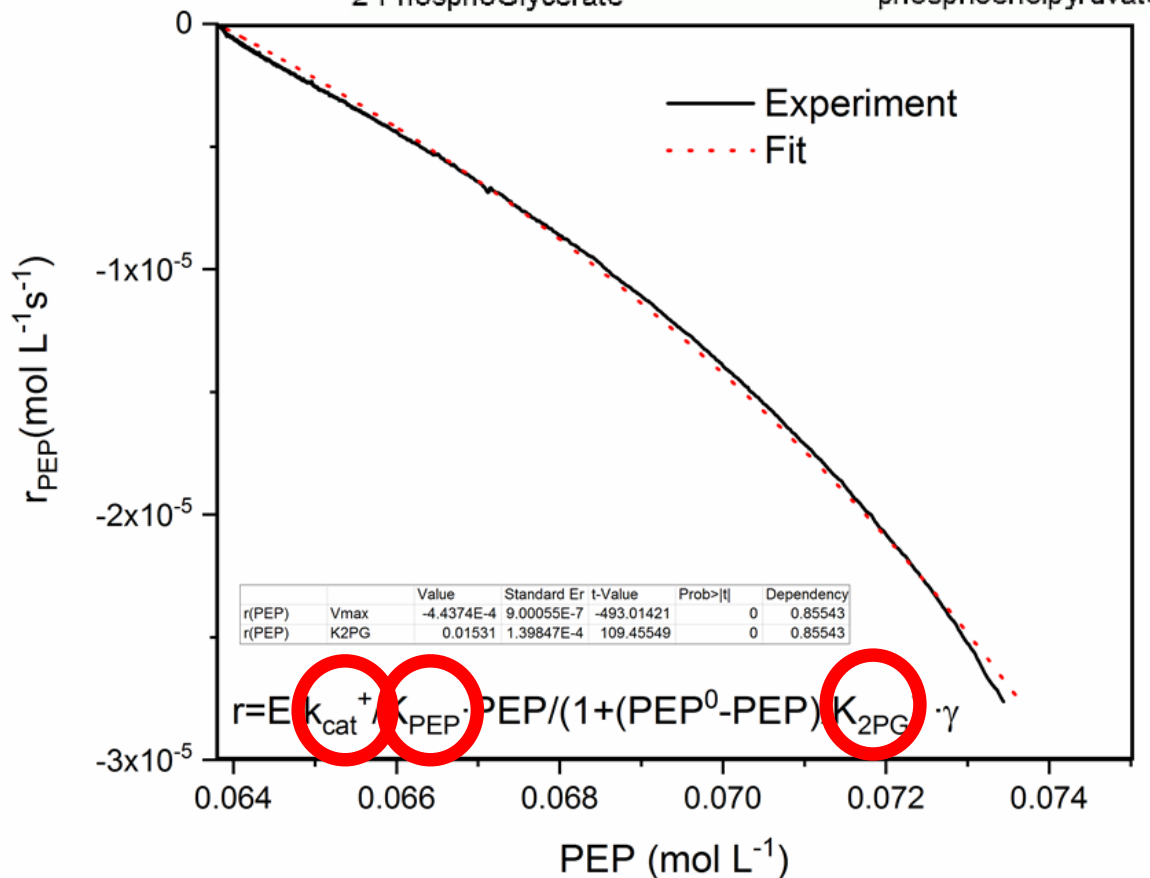
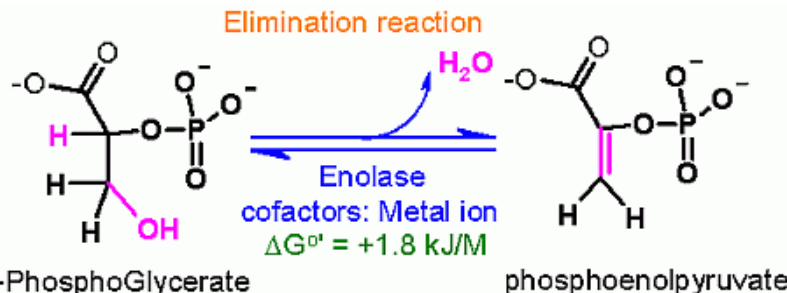
$$\Delta_r G = \Delta_r G^o + R \cdot T \cdot \ln \prod_{i=1}^n a_i^{\nu_i}$$

$$\Delta_r G^o = 0 \\ \text{für} \\ S = 1 \mu\text{M}$$

Im schlimsten Fall
3 Parameter

E. Noor, A. Flamholz, W. Liebermeister, A. Bar-Even, R. Milo
(2013) A note on the kinetics of enzyme action: A decomposition that highlights thermodynamic effects. FEBS Letters 587: 2772-2777

Anwendungsbeispiel



**Klappt prima
mit 3
Parameter**

Flux-Force-Relationships

Triebkraftkonzepte

$$\frac{r^+}{r^-} = e^{-\Delta_r G / R \cdot T}$$

$$r = r^+ - r^-$$

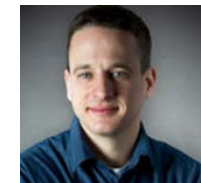
$$\frac{r}{r^+} = \frac{r^+ - r^-}{r^+} = 1 - \frac{r^-}{r^+} = 1 - e^{-\Delta_r G / R \cdot T} = \gamma$$



Westerhoff

Annahme das die Summe der Raten von Hin- und Rückreaktion
Der Triebkraft proportional ist:

$$r^+ + r^- = k \cdot E'$$



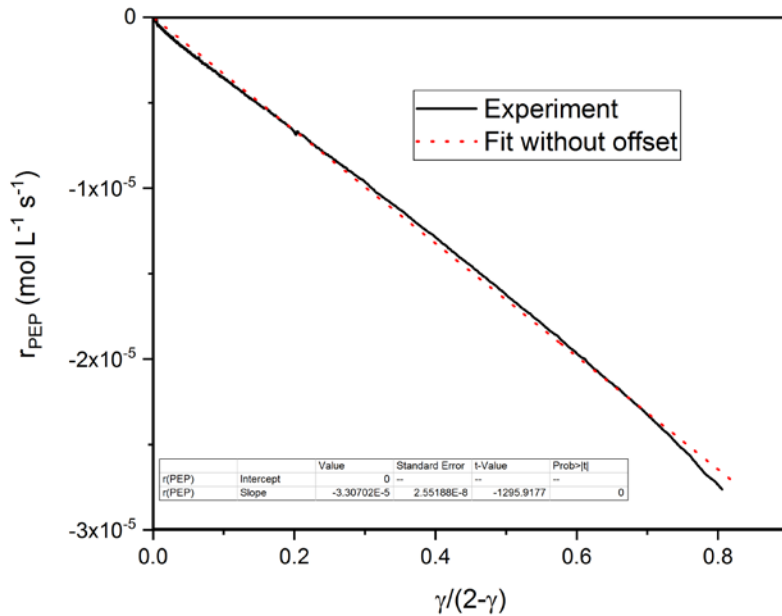
Beard

$$\frac{r}{r^+ + r^-} = \frac{\frac{r^-}{r^+}}{1 + \frac{r^-}{r^+}} = \frac{1 - e^{-\Delta_r G / R \cdot T}}{1 + e^{-\Delta_r G / R \cdot T}} = \frac{\gamma}{2 - \gamma}$$

Folgt: $r = k \cdot E \cdot \frac{\gamma}{2 - \gamma}$

Super: nur ein Parameter

Wie gut funktioniert es?



Yippee: nur noch ein Parameter und trotzdem guter Fit